LEGENDA FOGLIO 049 GEMONA DEL FRIULI - versione settembre 2012

Pleistocene - Attuale

SUCCESSIONE CONTINENTALE PLIOCENICO-QUATERNARIA

unità ubiquitarie
UIN
Diamicton eterogeneo, clasti da angolosi a subangolosi, tessitura da clasto-sostenuta a matrice-sostenuta (depositi di frana) (UIN_{a1}); *diamicton* con clasti angolosi, poco addensato, tessitura clasto-sostenuta (detrito di versante) (UIN_{a3}); ghiaie sabbiose, sabbie limose e peliti (depositi alluvionali di corsi d'acqua minori o di interbacino) (UIN_b); limo ed argilla con clasti eterometrici da angolosi a subarrotondati (coltre eluvio-colluviale e depositi colluviali) (UIN_{b2}); deposito da caotico a grossolanamente stratificato, con clasti eterometrici in matrice limoso-argillosa, tessitura matrice-sostenuta (depositi di *glacis*) (UIN_{b8}); sabbie, limi ed argille, debolmente ghiaiosi, laminati, contenenti torbe (depositi palustri) (UIN_{e3}); *diamicton* e ghiaie a blocchi, clasti subangolosi-subarrotondati, matrice sabbiosa, tessitura da clasto-sostenuta a matrice-sostenuta (depositi di origine mista) (UIN_i).
PLEISTOCENE sup. - ATTUALE

complesso di Monteaperta
MPT
Brecce eterometriche variamente cementate, da caotiche a stratificate con andamento parallelo al versante, tessitura clasto-sostenuta.
PLEISTOCENE

Pleistocene medio - Attuale

unità superiore dei bacini secondari
BTR
Ghiaie sabbiose, clasti subarrotondati, tessitura clasto-sostenuta, grossolanamente stratificate e localmente clinostratificate; sabbie limose debolmente ghiaiose, tessitura matrice-sostenuta; limi sabbiosi massivi (depositi alluvionali e fluvioglaciali) (BTR_b); *diamicton* massivo eterogeneo con blocchi, matrice limosa o sabbioso-limosa, clasti da angolosi a subarrotondati, striati, sfaccettati e talvolta levigati, da addensato a molto addensato con livelli, lenti e lingue di sabbia e limo ghiaiosi da massivi a laminati, tessitura matrice-sostenuta (*till* indifferenziato) (BTR_{c1}); *diamicton* massivo eterogeneo con blocchi, matrice limosa o sabbioso-limosa, clasti da subangolosi a subarrotondati, striati e sfaccettati, addensato, tessitura matrice-sostenuta (*till* di ablazione) (BTR_{c5}); sabbia e limo debolmente ghiaiosi, da stratificati a laminati suborizzontali, contenenti *dropstone* (depositi glaciolacustri) (BTR_{c6}). Limite superiore dato dall'originaria superficie deposizionale rimodellata, limite inferiore erosivo.
PLEISTOCENE sup. - ATTUALE

unità della Val Venzonassa
VZS
Diamicton e ghiaie a stratificazione grossolana da planare ad incrociata, tessitura da clasto-sostenuta a matrice-sostenuta (depositi fluvioglaciali) (VZS_b); *diamicton* massivo eterogeneo con blocchi, addensato, matrice limosa o sabbioso-limosa, clasti da subangolosi a subarrotondati, striati e sfaccettati, tessitura matrice-sostenuta (*till* indifferenziato) (VZS_{c1}); *diamicton* massivo eterogeneo con blocchi, da addensato a poco addensato, matrice limosa o sabbioso-limosa, clasti da subangolosi a subarrotondati, striati e sfaccettati, tessitura matrice-sostenuta (*till* di ablazione) (VZS_{c5}). Limite superiore erosivo, limite inferiore erosivo.
PLEISTOCENE sup.

unità inferiore dei bacini secondari
BTN
Ghiaie sabbiose variamente cementate, clasti subarrotondati, tessitura clasto-sostenuta; sabbie limose debolmente ghiaiose, tessitura matrice-sostenuta; limi sabbiosi massivi (depositi alluvionali) (BTN_b). Limite superiore dato dall'originaria superficie deposizionale rimodellata, limite inferiore erosivo.
PLEISTOCENE medio - PLEISTOCENE sup.

Pliocene - Attuale

SINTEMA DEL PO
POI
POI_{10}
Ghiaie grossolane subarrotondate, stratificazione da planare ad incrociata, matrice sabbiosa, tessitura clasto-sostenuta (depositi alluvionali) (POI_b); limi e sabbie con livelli ricchi di sostanza organica (depositi lacustri) (POI_{e2}). Limite superiore in parte erosivo, in parte costituito dall'originaria superficie deposizionale caratterizzata da suoli con profilo tipo A-C (colore 10YR), limite inferiore erosivo.
Viene distinta l'**unità di Torcello** (POI_{10b}), costituita dai depositi alluvionali degli alvei di Tagliamento e Fella riconosciuti in evoluzione in epoca storica.
OLOCENE - ATTUALE

SINTEMA DI SPILIMBERGO (Bacino del F. Tagliamento)
SPB
Ghiaie sabbiose a stratificazione incrociata, clasti da subangolosi a subarrotondati, matrice sabbioso-limosa; sabbie debolmente limose laminate con *dropstone* (depositi di contatto glaciale) (SPB_{b5}); *diamicton* massivo eterogeneo con blocchi, matrice limosa, clasti da subarrotondati a subangolosi, striati, tessitura matrice-sostenuta (*till* indifferenziato) (SPB_{c1}); *diamicton* massivo eterogeneo con blocchi, matrice limosa, clasti da subarrotondati a subangolosi, striati, sfaccettati e levigati, molto addensato, tessitura matrice-sostenuta (*till* di alloggiamento) (SPB_{c4}); *diamicton* massivo eterogeneo con blocchi, matrice sabbioso-limosa, clasti da subangolosi a subarrotondati, striati e sfaccettati, da addensato a poco addensato, tessitura matrice-sostenuta (*till* di ablazione) (SPB_{c5}); limi e sabbie laminati addensati, contenenti *dropstone* (depositi glaciolacustri) (SPB_{c6}). I clasti sono carbonatici ed in subordine vulcanici, metamorfici, ibridi e silicei. Limite superiore erosivo, localmente caratterizzato dall'originaria superficie deposizionale rimodellata, caratterizzata da suoli con profilo tipo A-B-C (colore 7.5YR-10YR); limite inferiore erosivo.
PLEISTOCENE sup.

subsintema di Remanzacco (Bacino del F. Tagliamento)
SPB_4
Ghiaie a blocchi, clasti subangolosi-subarrotondati, matrice sabbioso-limosa, stratificazione grossolana da planare ad inclinata, con livelli sabbioso-limosi massivi, tessitura da clasto-sostenuta a matrice-sostenuta (depositi fluvioglaciali) (SPB_{4b}); ghiaie sabbiose a stratificazione incrociata, clasti da subangolosi a subarrotondati, matrice sabbioso-limosa; sabbie debolmente limose laminate (depositi di contatto glaciale) (SPB_{4b5}); *diamicton* massivo eterogeneo con blocchi, matrice sabbioso-limosa, clasti da angolosi a subarrotondati, striati, sfaccettati e levigati, da addensato a molto addensato, tessitura matrice-sostenuta (*till* indifferenziato) (SPB_{4c1}); *diamicton* massivo eterogeneo con blocchi, matrice sabbioso-limosa, clasti da subangolosi a subarrotondati, striati e sfaccettati, da addensato a poco addensato, tessitura matrice-sostenuta (*till* di ablazione) (SPB_{4c5}); limi e sabbie laminati con lenti ghiaiose, addensati, contenenti *dropstone* (depositi glaciolacustri) (SPB_{4c6}); blocchi angolosi plurimetrici carbonatici (frana con trasporto glaciale) (SPB_{4a5}). Limite superiore costituito dall'originaria superficie deposizionale rimodellata, caratterizzata da suoli con profilo tipo A-B-C o A-C (colore 10YR); limite inferiore erosivo. Sono distinte le unità di Muris (SPB_{4A}), di Majano (SPB_{4B}) e di Collalto (SPB_{4C}) relative a diversi lobi del ghiacciaio del Tagliamento.
PLEISTOCENE sup.

subsintema di Canodusso (Bacino del F. Tagliamento)
SPB_3
Diamicton massivo eterogeneo con blocchi, matrice limosa, clasti da subangolosi a subarrotondati, striati e sfaccettati, da addensato a poco addensato, tessitura matrice-sostenuta (*till* di ablazione) (SPB_{3c5}). Limite superiore costituito dall'originaria superficie deposizionale rimodellata, caratterizzata da suoli con profilo tipo A-B-C o A-C (colore 10YR); limite inferiore erosivo.
PLEISTOCENE sup.

SUPERSINTEMA DEL FRIULI

SUPERSINTEMA DEL FRIULI indistinto
SF
Conglomerati ben cementati, ad elementi carbonatici ed in subordine ibridi, silicei, metamorfici e vulcanici, matrice arenaceo-siltitica, tessitura clasto-sostenuta, stratificati.
PLIOCENE ? - PLEISTOCENE medio ?

SINTEMA DI TAPOU (Bacino del T. Torre)
TAU
Diamicton massivo eterogeneo, ad elementi carbonatici ed in subordine ibridi, matrice limosa o sabbioso-limosa, clasti da subangolosi a subarrotondati, striati e sfaccettati, addensato, tessitura matrice-sostenuta (*till* indifferenziato) (TAU_{c1}). Limite superiore erosivo, limite inferiore erosivo.
PLEISTOCENE medio ?

SINTEMA DI ERBA (Bacino del T. Torre)
ERB
Conglomerati variamente cementati, clasti subarrotondati carbonatici ed in subordine ibridi e silicei, stratificazione da planare ad incrociata, matrice arenacea, tessitura prevalentemente clasto-sostenuta (depositi alluvionali) (ERB_b); limi e sabbie con livelli ricchi di sostanza organica (depositi lacustri) (ERB_{e2}). Limite superiore erosivo, limite inferiore erosivo.
PLEISTOCENE medio

SINTEMA DI PLAINO (Bacino del F. Tagliamento)
PLI
Ghiaie a blocchi, clasti subangolosi-subarrotondati, matrice sabbioso-limosa, stratificazione grossolana da orizzontale a inclinata, con livelli sabbioso-limosi massivi, tessitura da clasto-sostenuta a matrice-sostenuta (depositi fluvioglaciali) (PLI_b); *diamicton* massivo eterogeneo con blocchi, matrice limosa o sabbioso-limosa, clasti subangolosi-subarrotondati, striati, sfaccettati e levigati, da addensato a molto addensato, tessitura matrice-sostenuta (*till* indifferenziato) (PLI_{c1}); blocchi angolosi plurimetrici (frana con trasporto glaciale) (PLI_{a5}). I clasti sono carbonatici ed in subordine vulcanici, metamorfici, ibridi e silicei. Limite superiore erosivo, limite inferiore erosivo.
PLEISTOCENE medio

SINTEMA DI INVILLINO (Bacino del F. Tagliamento)
INV
Conglomerati ben cementati, clasti subarrotondati carbonatici ed in subordine ibridi, silicei, metamorfici e vulcanici, matrice arenaceo-siltitica, tessitura clasto-sostenuta, mal stratificati. Limite superiore erosivo, limite inferiore erosivo.
PLEISTOCENE medio

SINTEMA DI LEDRANIA (Bacino del F. Tagliamento)
LDR
Diamicton massivo con blocchi, localmente cementato, matrice limoso-argillosa, clasti subarrotondati molto alterati, addensato, tessitura matrice-sostenuta (*till* indifferenziato) (LDR_{c1}). Limite superiore erosivo, caratterizzato da suoli molto sviluppati con profilo tipo A-B-Ck ed orizzonte argillico di colore 5YR; limite inferiore erosivo.
PLEISTOCENE medio

Pliocene - Attuale

SINTEMA DI AMPEZZO (Bacino del F. Tagliamento)
AZO
AZO_a
Conglomerati ben cementati, clasti subarrotondati carbonatici ed in subordine ibridi, silicei, metamorfici e vulcanici, matrice arenaceo-siltitica, tessitura clasto-sostenuta, stratificati, localmente clinostratificati; si intercalano livelli decametrici di arenarie pelitiche e limi lacustri laminati. A luoghi sono intercalati od in eteropia corpi decametrici di brecce ben cementate, da caotiche a mal stratificate, tessitura clasto-sostenuta (AZO_a). Limite superiore erosivo, limite inferiore erosivo e discordante.
PLEISTOCENE medio

SINTEMA DI CESCLANS (Bacino del F. Tagliamento)
CCX
CCX_a
Conglomerati ben cementati, clasti subarrotondati carbonatici ed in subordine ibridi, silicei, metamorfici e vulcanici, matrice arenaceo-siltitica, tessitura clasto-sostenuta, stratificati; si intercalano livelli decametrici di sabbie limose e limi laminati. A luoghi sono intercalati corpi decametrici di brecce ben cementate, da caotiche a mal stratificate, tessitura clasto-sostenuta (CCX_a). Limite superiore erosivo, limite inferiore erosivo e discordante.
GELASIANO - CALABRIANO

SINTEMA DELL'AMBIESTA (Bacino del F. Tagliamento)
AME_a
AME
OSP
Conglomerati ben cementati, ciottoli subarrotondati carbonatici ed in subordine ibridi, silicei, metamorfici e vulcanici, matrice arenaceo-siltitica, tessitura clasto-sostenuta, stratificati; si intercalano livelli decametrici di arenarie pelitiche da stratificate a laminate. A luoghi sono intercalati corpi di brecce ben cementate, da caotiche a grossolanamente stratificate, tessitura clasto-sostenuta (AME_a). Limite superiore erosivo, limite inferiore erosivo e discordante. **Conglomerato di Osoppo**: conglomerati deltizi, clinostratificati (*foreset*) o a stratificazione planare (*topset*), clasti subarrotondati, matrice arenaceo-siltitica, tessitura generalmente clasto-sostenuta; localmente alla base siltiti e sabbie limose (*bottomset*) (OSP).
ZANCLEANO

SUCCESSIONE MIOCENICA

Miocene

CONGLOMERATO DEL MONTELLO
MON_3
MON_2
Conglomerati ben cementati a ciottoli carbonatici ed in subordine ibridi e silicei, con livelli arenacei e pelitici. Sono presenti due membri: **membro conglomeratico**: conglomerati da mal classati a classati a ciottoli subangolosi-subarrotondati, in strati spessi, con intercalazioni decimetrico-metriche di arenarie giallastre e localmente di peliti grigie; conglomerati classati, clinostratificati, passanti ad arenarie ed a peliti laminate; localmente, alla base, brecce caotiche a supporto di matrice (MON_3); **membro arenaceo-pelitico**: arenarie silicee da grigio chiare a bruno rossastre poco cementate, marne laminate grigie ad ostracodi (*Hemicytheria peijnovicensis*), peliti grigie ad ostreidi e resti vegetali con subordinati livelli conglomeratici a ciottoli arrotondati-subarrotondati (MON_2).
TORTONIANO sup. - MESSINIANO inf.

MARNA DI TARZO
TRZ
Marne e siltiti marnose grigie, brune per alterazione, a stratificazione poco distinta, con abbondanti microforaminiferi (globigerinidi e globorotalidi) e livelli ricchi in molluschi.
SERRAVALLIANO inf. p.p. - TORTONIANO inf. p.p.

FORMAZIONE DEL MONTE BALDO
FMB
Calciruditi e calcareniti grigio brune e calcisiltiti grigio chiare o brunastre in banchi molto spessi a rari echinidi e bivalvi (*Lucinoma borealis*), con intercalazioni marnose a *Praeorbulina* e *Orbulina* più frequenti nella parte superiore.
LANGHIANO - SERRAVALLIANO inf. p.p.

ARENARIA DI PREPLANS
PRP
PRP_1
Arenarie silicee debolmente micacee e glauconitiche, grigiastre, da grossolane a medie, localmente lignitifere; conglomerati alluvionali prevalentemente a supporto di clasti, da arrotondati a subarrotondati, a ciottoli di selce, quarzo, carbonati ed areniti ibride; siltiti e marne grigio scure a bivalvi e gasteropodi talvolta piritizzati, con *Ammonia*, *Heterolepa* ed ostracodi (*Cyamocytheridea*, *Cytheridea*). In Val Tremugna nella parte inferiore dell'unità si intercala la **breccia di Peonis**: brecce carbonatiche a ciottoli e blocchi, in megastrati caotici, a supporto di clasti e matrice pelitico-arenacea, localmente addentellati ai conglomerati alluvionali (PRP_1).
AQUITANIANO

ZONA A SCAGLIE TETTONICHE
ZST
Sistema di scaglie tettoniche di spessori metrico-decametrici appartenenti alle formazioni: FMZ, SRF e UCC (ZST_a); FAS, OOV, FOZ, ARV_3, MAI e SRF (ZST_b); ARV_3, MAI, VAA, SRF (ZST_c); OOV, FOZ, ARV_3 e MAI (ZST_d); DAH, SOV_a e SOV_b (ZST_e); OOV, FOZ, ARV_3, MAI, VAA e SRF (ZST_f); fascia di cataclasiti fini coesive, in parte dolomitizzate, con relitti delle formazioni DAH, FMZ ed OOV (ZST_g).

SUCCESSIONE NERITICA EOCENICA

FORMAZIONE DI TUGLIEZZO
TGZ
Brecce carbonatiche, conglomerati mal classati a supporto di clasti con ciottoli subangolosi e calcareniti, ricchi in *Nummulites* e *Assilina*, che passano verso l'alto ad alternanze di calcareniti e siltiti con abbondanti macroforaminiferi e infine a peliti verdognole con sottili livelli arenacei e rare nummuliti.
LUTEZIANO

SUCCESSIONE TORBIDITICA CRETACICO - PALEOGENICA

FLYSCH DI CLAUZETTO
AUZ
Alternanze di biocalcareniti gradate grigio-brune, o di arenarie grigie, ocracee per alterazione, a laminazione piano-parallela ed incrociata, in intervalli da medi a spessi, e di marne grigio-azzurre; al tetto degli strati torbiditici sono talora presenti sottili livelli di marne calcaree biancastre a foraminiferi planctonici (*Morozovella aragonensis*, *Acarinina pentacamerata*).
YPRESIANO sup.

MARNE ED ARENARIE DI SAVORGNANO
SVO
Alternanze di marne e di arenarie carbonatico-silicoclastiche gradate da fini a medie con rapporto arenite/pelite generalmente inferiore a 1; gli strati più spessi presentano livelli basali di microconglomerato con selce e quarzo e macroforaminiferi; marne e marne argillose grigio azzurre con stratificazione indistinta e spessore anche plurimetrico. La porzione basale dell'unità è caratterizzata da spessi corpi di conglomerati poligenici a supporto di matrice.
YPRESIANO p.p.

FLYSCH DEL GRIVÒ
GRI_b
GRI_a
GRI_c
GRI
Alternanze di peliti e di areniti sottili e medio-sottili silicoclastico-carbonatiche e strati calciruditico-calcarenitici gradati di spessore superiore alle prime (GRI), cui si intercalano megastrati decametrico-ettometrici a prevalenti elementi carbonatici, talora con livello olistromale alla base (GRI_a), e corpi di paraconglomerato ricchi di selce (GRI_b); olistoliti (GRI_c) di unità carbonatiche mesozoiche sia di piattaforma che di bacino caratterizzano localmente la base dei megastrati. Nell'unità tettonica Ledrania GRI_a è formato da corpi caotici di brecciole biancastre a clasti di calcari di piattaforma giurassico-cretacici (ELL, CEL e CMC) e del Paleocene sup. - Eocene inf., talora con clasti angolosi di selce.
SELANDIANO sup. - YPRESIANO p.p.

FLYSCH DELLA VALLE UCCEA
UCC
Alternanze di peliti e di areniti carbonatico-silicoclastiche gradate sottili e medio-sottili di colore da rosso-bruno a grigiastro, con rapporto arenite/pelite inferiore a 1, a *Radotruncana calcarata* e *Globotruncana ventricosa*; rari strati spessi-molto spessi con base calciruditica.
CAMPANIANO p.p. - MAASTRICHTIANO p.p.

SUCCESSIONE GIURASSICO-CRETACICA DEL BACINO CARNICO-SLOVENO

SCAGLIA ROSSA FRIULANA
SRF
SRF_a
Micriti e calcisiltiti argillose da rosse a biancastre, raramente verdastre, in strati sottili, con selce rossa o giallastra, a globotruncanidi; si intercalano frequenti strati da medi a spessi di calciruditi e calcareniti selcifere con bioclasti di piattaforma. Nelle unità M. Covria, Ledrania e M. Bernadia SRF è rappresentata da brecce eterometriche caotiche, a ciottoli e blocchi di calcari di piattaforma e matrice marnosa rossa o verdastra, con intercalazioni di livelli di marne e micriti argillose rosse a globotruncanidi e bioclasti di piattaforma (SRF_a).
TURONIANO - MAASTRICHTIANO p.p.

SCAGLIA VARIEGATA ALPINA
VAA
Prevalenti micriti nerastre, grigio-verdastre e talora rosate in strati medi, con selce gialla, rossa o nera, e locali intercalazioni da sottili a medie di marne e di argilliti grigie, rossastre e nere, a *Rotalipora*, *Planomalina buxtorfi*, radiolari e microfossili risedimentati di piattaforma; si intercalano biocalcareniti, con noduli di selce, a orbitolinidi e bivalvi, nonché bioruditi in strati da spessi a molto spessi, gradati e con base erosiva, con intraclasti rosa e grigi da angolosi a subarrotondati.
APTIANO - CENOMANIANO

MAIOLICA
MAI
Micriti bianche, verdastre e grigio chiare a calpionellidi e radiolari, in strati da sottili a medi, con noduli e letti di selce biancastra o nera, e subordinate calcareniti fini in strati spessi con sparsi clasti angolosi di selce. Nell'unità tettonica M. Covria, MAI è formata da prevalenti calcareniti e calciruditi bioclastico-intraclastiche talora gradate e laminate, in strati spessi con frequenti clasti di selce.
TITONIANO sup. - BARREMIANO

Giurassico - Cretacico

SUCCESSIONE RIDOTTA DI CASERA S. SIMEONE
SRX
Successione formata da litofacies di FAS, OOV, FOZ, ARV_3, MAI (~20 m) e VAA (~13 m).
PLIENSBACHIANO p.p. - CENOMANIANO

ROSSO AMMONITICO VERONESE, membro superiore
ARV_3
Micriti nodulari rossastre, talora bianco-verdastre o grigie, spesso con noduli di selce rossa, con ammoniti e belemniti, *Saccocoma* e *Globochaete alpina*; rari interstrati marnosi e locali intercalazioni di calcareniti e di calciruditi bioclastiche gradate.
KIMMERIDGIANO - TITONIANO inf.

FORMAZIONE DI FONZASO
FOZ
Micriti grigie, verdastre e talora rosse, sottilmente stratificate, a radiolari e bivalvi pelagici, ricche di noduli e liste di selce rossa, grigia o verdastra, con laminazioni piano-parallele, con intercalazioni di strati sottili di calcareniti oolitico-bioclastiche; localmente sono presenti interstrati molto sottili di marne e di argilliti verdi. Nelle unità tettoniche M. Prat e Ledrania FOZ è formata da calcareniti e subordinate calciruditi bioclastiche grigie, spesso gradate, in strati spessi, con echinodermi, bivalvi, coralli, idrozoi e *Thubiphytes morronensis*, con intercalate micriti con rarissima selce nerastra.
BATHONIANO sup. - KIMMERIDGIANO inf.

CALCARE DEL VAJONT
OOV
Calcareniti biancastre, nocciola o rosa chiaro ad ooliti e bioclasti, in strati spessi talora amalgamati e gradati, a *Protopeneroplis striata* e *Trocholina alpina*, alternati a micriti grigiastre in strati medi a bivalvi pelagici e radiolari, con rari noduli di selce nera o rossa.
BATHONIANO p.p.

ENCRINITE DI FANES PICCOLA
FAS
Calcareniti encrinitiche, con una variabile componente oolitica ed intraclastica, in strati spessi, colore da grigio rosato a rossastro; superficie basale disconforme su FMZ, SOV_a o SOV_b. Sono presenti *Involutina liassica*, *Agerina martana*, *Frondicularia*, crinoidi, brachiopodi, gasteropodi, bivalvi pelagici.
PLIENSBACHIANO p.p. - ? BATHONIANO p.p.

FORMAZIONE DI SOVERZENE
SOV_b
SOV_a
Si distinguono due unità con rapporti in prevalenza eteropici e poi di sovrapposizione. Dal basso: **unità micritico-calcarenitica**: micriti e subordinate calcareniti generalmente oolitiche di colore da grigio chiaro a nocciola, povere di selce, in strati da spessi a molto spessi, a gasteropodi, bivalvi a guscio sottile, foraminiferi a guscio ialino (fra cui *Dentalina*, *Lingulina*, *Frondicularia*, *Involutina liassica*), radiolari, spicole di spugna e ammoniti (*Arnioceras*) (SOV_a); **unità micritica selcifera**: micriti e dolomiciti grigio brune, in strati da medi a spessi con giunti ondulati ed interstrati argillitici molto sottili, abbondanti noduli e letti di selce grigia o nera; rari radiolari, spicole di spugna, *Involutina liassica* (SOV_b).
HETTANGIANO - PLIENSBACHIANO (CARIXIANO)

SUCCESSIONE GIURASSICO-CRETACICA DELLA PIATTAFORMA FRIULANO-DINARICA

CALCARE DEL MONTE CAVALLO
CMC
Bioruditi e biocalcareniti da biancastre a grigio chiare, in strati da spessi a molto spessi, a *Crysalidina gradata*, orbitolinidi, *Cuneolina pavonia*, *Vidalina radoicice*, *Prealveolina*; la parte superiore dell'unità è localmente caratterizzata da strati spessi a rudiste.
ALBIANO p.p. - CENOMANIANO sup. (TURONIANO ?)

CALCARE DEL CELLINA
CEL
Micriti bianche, brunastre e grigie organizzate in cicli peritidali di scala metrica, in cui la porzione subtidale, localmente a nerinee e/o rudiste, si alterna a un intervallo inter-sopratidale a *fenestrae* talora con livelli molto sottili di argilliti e brecciole; subordinate intercalazioni di calcareniti da bianche a grigie. Il contenuto microfossilifero è caratterizzato da *Salpingoporella annulata*, *S. dinarica*, *Orbitolinopsis capuensis*, miliolidi, *Sabaudia capitata*, *Debarina hahounerensis*, *Vercorsella*; al limite Hauteriviano-Barremiano si intercalano circa 20 m di micriti bituminose nerastre laminate. Nell'unità tettonica Ledrania affiora la base dell'unità (Kimmeridgiano-Titoniano) formata da livelli di biocalcareniti e bioruditi bianche a bivalvi, gasteropodi e coralli, in strati spessi-molto spessi, intercalati da livelli di micriti bianche in strati spessi.
KIMMERIDGIANO - ALBIANO p.p.

CALCARI A ELLIPSACTINIE
ELL
Bioruditi e biocalcareniti da biancastre a grigio-nocciola, massicce o in strati molto spessi, con frammenti di idrozoi, bivalvi e gasteropodi, rari coralli e *Tubiphytes morronensis*.
OXFORDIANO - TITONIANO

FORMAZIONE DI MONTE ZUGNA
FMZ
L'unità è costituita da due litofacies. La prima, peritidale, tipica della parte inferiore, è organizzata in cicli peritidali *shallowing-upward* di scala metrica, composti da una porzione subtidale inferiore micritica/dolomicritica bioturbata e da un intervallo inter-sopratidale laminato stromatolitico a *fenestrae* e *mud-cracks*; sono presenti *Aeolisaccus dunningtoni*, *Siphovalvulina variabilis*, bivalvi ed alghe dasicladali (*Palaeodasycladus mediterraneus*). La seconda litofacies, subtidale, è formata da calcareniti oolitico-bioclastiche ben classate, con laminazione piano-parallela, ad alghe dasicladali, gasteropodi, bivalvi e foraminiferi bentonici (*Mayncina* cf. *termieri*, *Amijiella amiji* e *Lituosepta*); nelle unità tettoniche M. Amariana, Venzone *p.p.* e M. S. Simeone questa può essere esclusiva, o prevalente in rapporti di eteropia o di sovrapposizione con la prima.
HETTANGIANO - PLIENSBACHIANO (CARIXIANO)

SUCCESSIONE TRIASSICA

Triassico medio-superiore

CALCARE DEL DACHSTEIN
DAH
DAH_a
Micriti biancastre in strati di spessore metrico, organizzate in cicli peritidali nei quali la porzione subtidale a megalodontidi si alterna a livelli stromatolitici con *fenestrae*; presenti *Triasina hantkeni*, *Aulotortus*, *Griphoporella curvata*. Ampie porzioni della successione possono presentare una dolomitizzazione pervasiva, spesso a grana grossolana (DAH_a); locali corpi di brecce, talora dolomitiche .
RETICO

DOLOMIA PRINCIPALE
DPR
DPR_7
DPR_6
Dolomie da biancastre a nocciola e grigio chiare, in strati da medi a spessi, organizzati in cicli peritidali costituiti da dolomicriti bioturbate con locali livelli a megalodontidi e gasteropodi e da dolomie stromatolitiche con *tepee* e *fenestrae*; al tetto sono localmente presenti corpi tabulari di brecce monogeniche a clasti angolosi di dolomie stromatolitiche, a supporto di matrice dolomicritica. Al suo interno possono essere distinti due membri.
CARNICO sup. p.p. - RETICO p.p.
Membro della dolomia del Resartico (DPR_7): dolomicriti bituminose grigie, bruno scure o nerastre in strati da sottili a medi; a luoghi è presente un orizzonte di dolomie nere laminate, talvolta selcifere, con interstrati marnosi ricchi in materia organica, con conodonti (*Mockina slovakensis*) ("unità a laminiti organiche del Rio Resartico").
NORICO (SEVATIANO inf.)
Membro del Monticello (Fm. del Monticello *Auct.*) (DPR_6): dolomicriti da grigio scure a grigio-brunastre in strati da medi a spessi e subordinate dolomicriti argillose laminate, brune o nere, ricche in sostanza organica; frequenti intercalazioni di peliti nerastre laminate e di dolomicriti in strati sottili nella porzione inferiore e di dolomie chiare in cicli peritidali specie nella parte superiore.
CARNICO sup. p.p. - NORICO inf. ?

FORMAZIONE DI TRAVENANZES (Fm. di Raibl *Auct.*)
TVZ
Alla base siltiti e argilliti rosse, talora nerastre e verdastre, con lenti di arenarie e livelli dolomicritici sottili-molto sottili; seguono gessi bianchi e rosa talora alternati fittamente ad argilliti rosse o nerastre. L'unità termina con un corpo massiccio pluridecametrico di dolomie vacuolari grigiastre brecciate, in cui sono dispersi pacchi di strati di dolomie e marne e, talora, si accompagnano livelli di cataclasiti foliate.
CARNICO sup. p.p. (TUVALICO p.p.)

FORMAZIONE DI HEILIGKREUZ (Fm. di Dürrenstein *Auct.*)
HKS
Alla base arenarie e siltiti violette quarzoso-feldspatiche, cui seguono areniti ibride verdastre, calcareniti bioclastiche con livelli ricchi in bivalvi e marne grigio scure, che si alternano con tendenza all'aumento della frazione carbonatica verso l'alto. L'unità termina con un massiccio corpo doloarenitico, inferiormente a stratificazione medio-spessa.
CARNICO (JULICO sup. - TUVALICO inf.)

FORMAZIONE DELLA VAL DEGANO
DEG
Micriti grigio scure o nere in strati da sottili a molto sottili, frequentemente laminate, talora alternate a livelli di marne calcaree grigie o di peliti nerastre; rare intercalazioni di areniti verdi a prevalenti plagioclasi e clasti vulcanici.
CARNICO inf. (JULICO p.p.)

FORMAZIONE DELLO SCILIAR
SCI
Alternanze cicliche di dolomicriti bioturbate, in strati di spessore metrico, e di livelli di dolomie bianche laminate a *fenestrae* in strati decimetrici; sottili filoni sedimentari di peliti grigio-verdastre al tetto dell'unità.
LADINICO

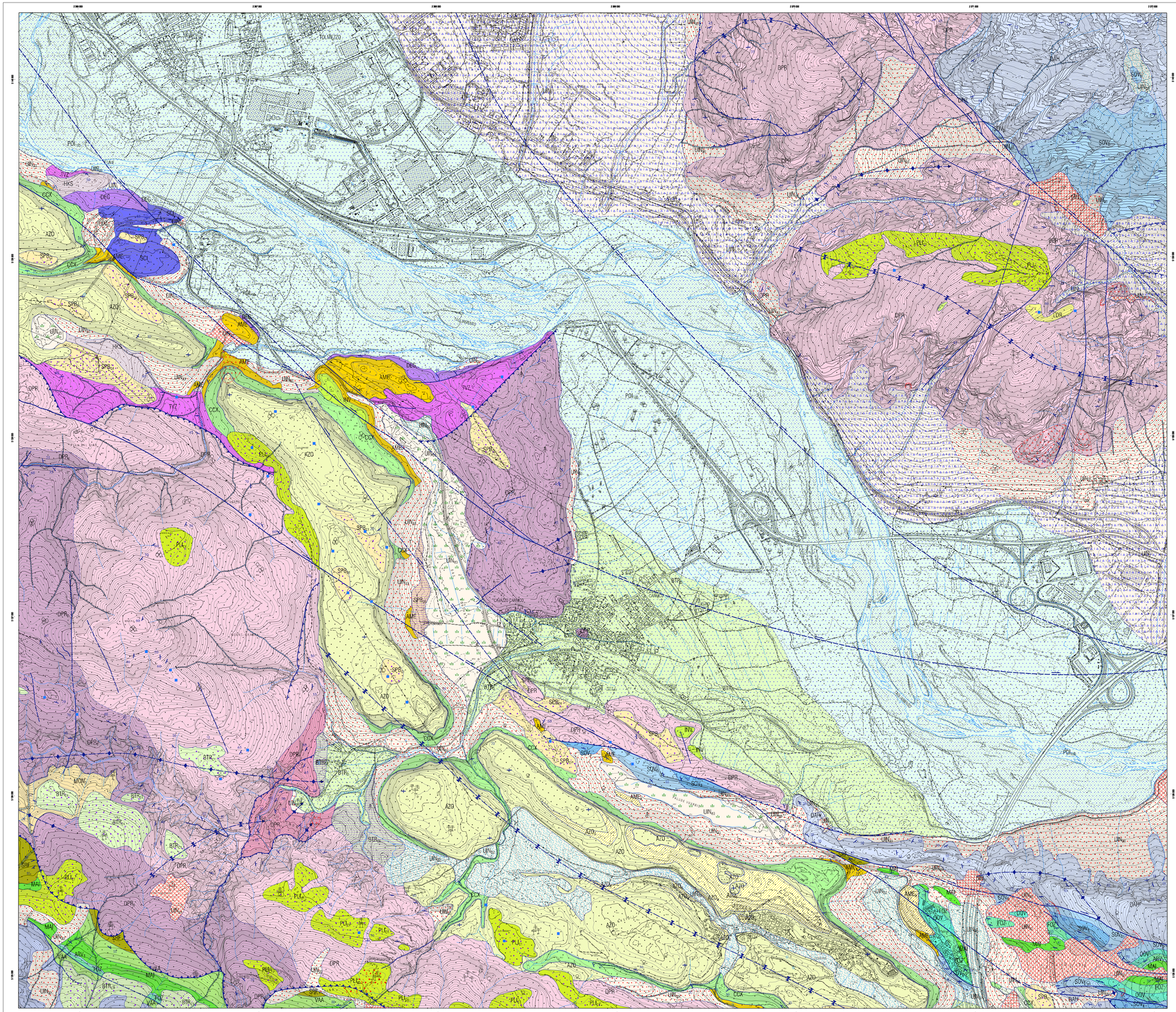
giacitura degli strati
- strati inclinati (20)
- strati inclinati rovesciati (45)
- strati contorti (> 45)
- strati orizzontali
- strati verticali (il pallino indica la base)
- strati verticali a polarità incerta

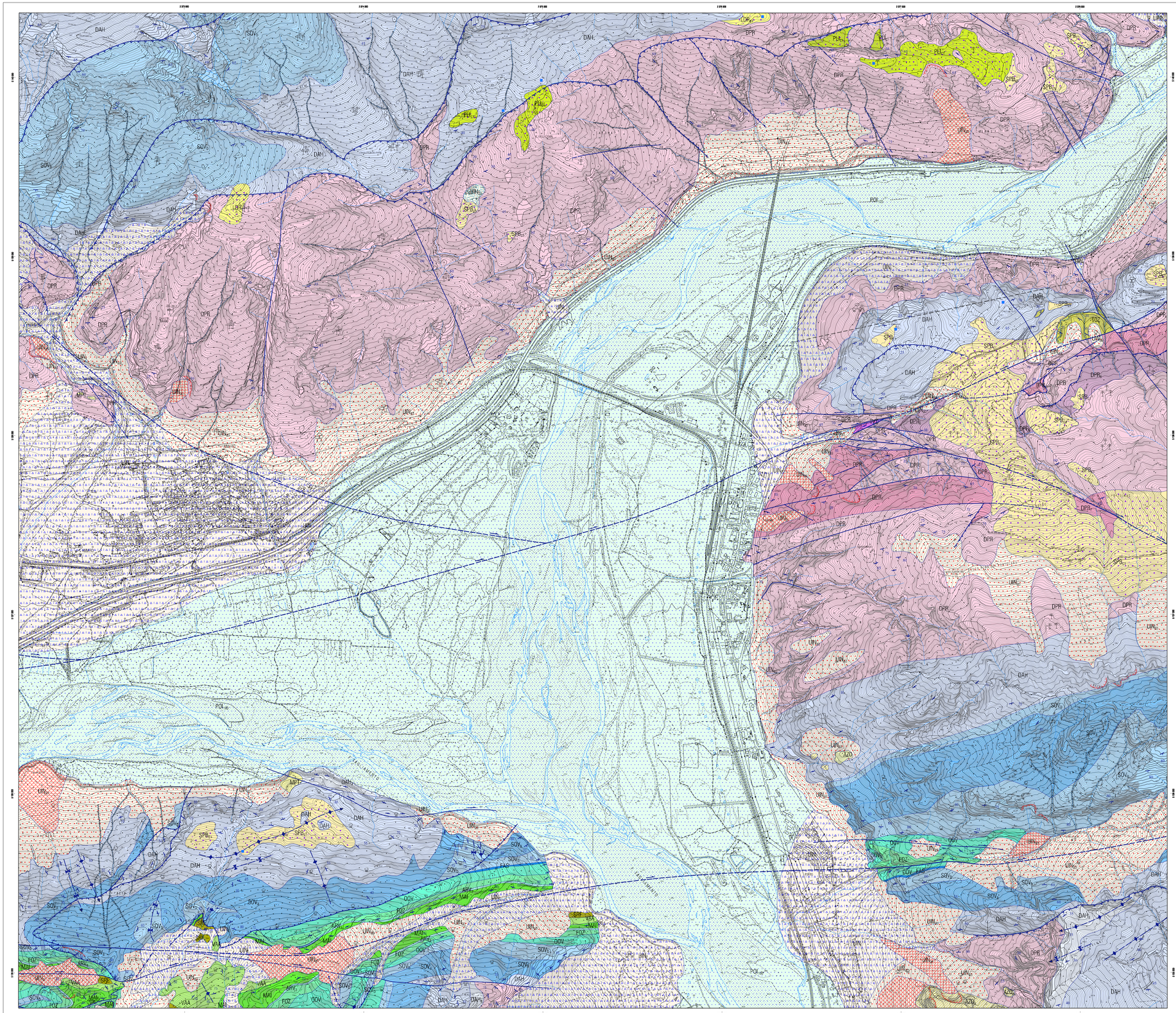
- contatto stratigrafico certo, incerto
- contatto stratigrafico inconforme
- ARV_3 al tetto di FOZ; FAS al tetto di FMZ o SOV
- faglia certa, incerta o sepolta
- faglia trascorrente destra
- faglia trascorrente sinistra
- faglia diretta
- faglia diretta sinsedimentaria
- faglia inversa
- sovrascorrimento principale
- sovrascorrimento secondario
- sovrascorrimento cieco principale
- sovrascorrimento cieco secondario

- traccia di superficie assiale anticlinale
- traccia di superficie assiale sinclinale
- traccia di superficie assiale antiforme
- traccia di superficie assiale sinforme
- orlo di scarpata di frana
- deformazione gravitativa profonda di versante
- trincea di deformazione gravitativa profonda di versante
- limite superiore delle risorgive
- sorgente
- orlo di terrazzo
- masso erratico significativo
- cordone morenico
- cava inattiva
- deposito antropico
- discarica
- S6 (106) sondaggio CARG-FVG (profondità in m)
- Bernadia 1 (2570) sondaggio per ricerca di idrocarburi
- A A' traccia di sezione geologica

Sovrassegni dei depositi superficiali

b - deposito alluvionale o fluvioglaciale:
- a_1 deposito di frana
- a_3 detrito di falda
- a_5 deposito di frana con trasporto glaciale
- ghiaia
- sabbia
- limo
- ghiaia e sabbia
- b_2 coltre eluvio-colluviale e depositi colluviali
- b_5 deposito di contatto glaciale
- b_8 deposito di *glacis*
- c_1 *till* indifferenziato
- c_4 *till* di alloggiamento
- c_5 *till* di ablazione
- c_6 deposito glacio-lacustre
- e_2 deposito lacustre
- e_3 deposito palustre
- i deposito di origine mista


TOLMEZZO
CAVAZZO CARNICO
FIUME TAGLIAMENTO
FIUME FELLA
FIUME DEGANO
FIUME AMARO
FIUME ARZINO
FIUME CORNAPPO
FIUME CAMPIDELLO
FIUME MALINA
FIUME MALINUTTA
FIUME MALINUTTA
FIUME MALINUTT



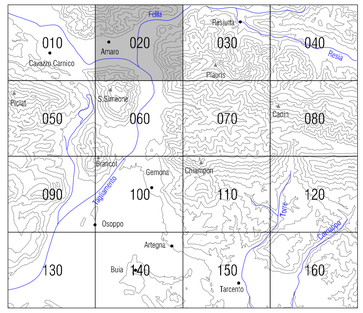
REGIONE AUTONOMA FRIULI VENEZIA GIULIA
servizio geologico

ISPRA - Istituto Superiore per la Protezione e la Ricerca Ambientale
SERVIZIO GEOLOGICO D'ITALIA

CARTA GEOLOGICA D'ITALIA

FOGLIO 049 GEMONA DEL FRIULI

(Legge 13 luglio 1999, n. 226)



Sezione 049020 AMARO

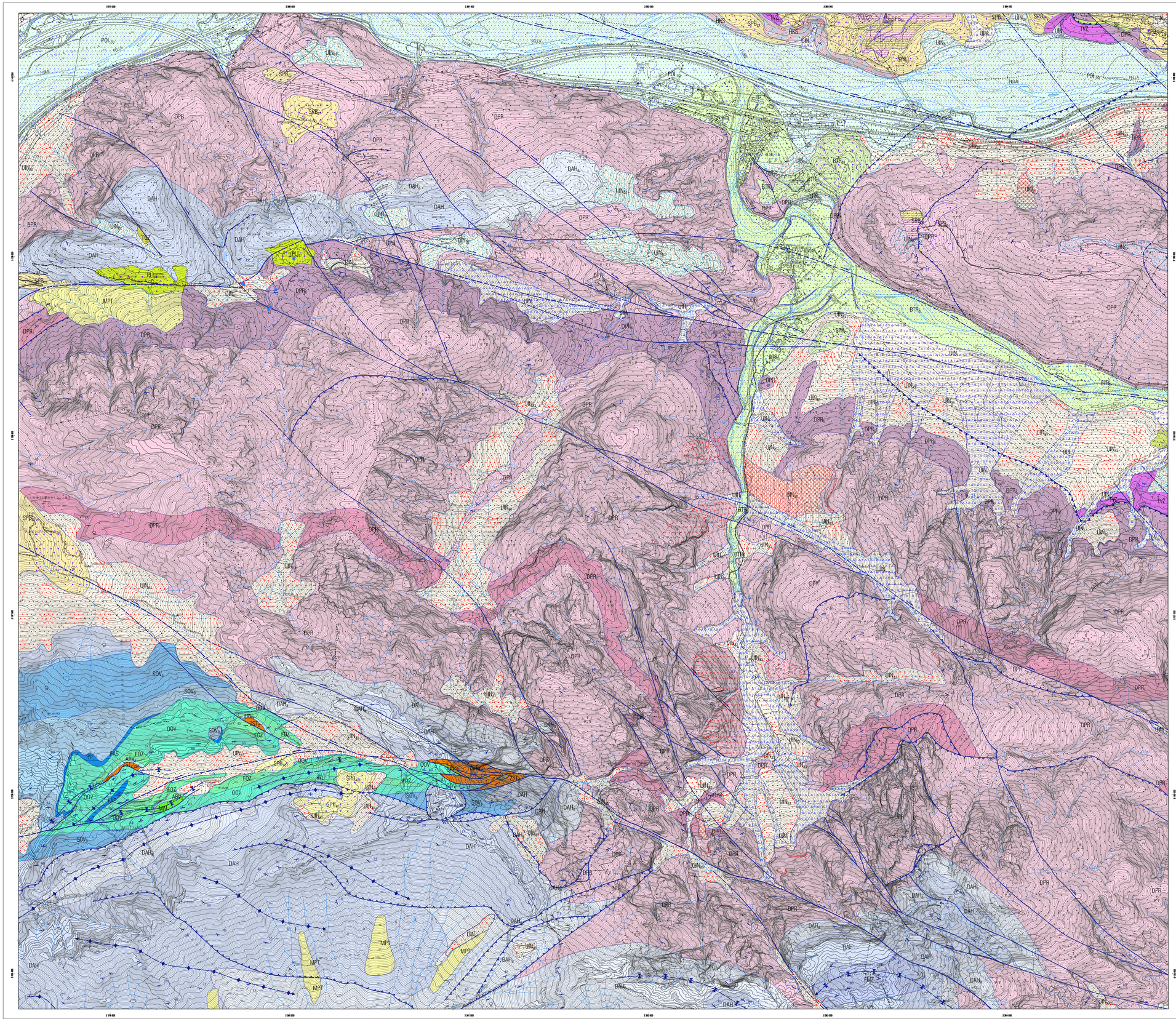
Responsabile di progetto: G. Lizzi
Regione Autonoma Friuli Venezia Giulia
Direzione Centrale Ambiente, Energia e Politiche per la Montagna

Coordinatore scientifico: A. Zanferrari
Università degli Studi di Udine
Dipartimento di Chimica, Fisica e Ambiente - Sez. Georisorse e Territorio

0 m 500 1000

Scala 1:10.000

Base cartografica elaborata da CTRN Regione Autonoma Friuli - Venezia Giulia
Le coordinate piane sono riferite al sistema di riferimento nazionale



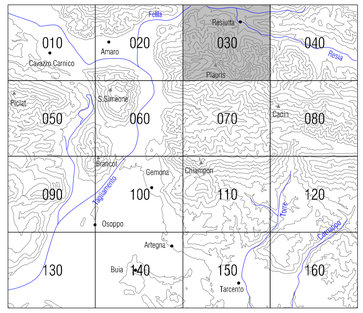
REGIONE AUTONOMA FRIULI VENEZIA GIULIA
servizio geologico

ISPRA - Istituto Superiore per la Protezione e la Ricerca Ambientale
SERVIZIO GEOLOGICO D'ITALIA

CARTA GEOLOGICA D'ITALIA

FOGLIO 049 GEMONA DEL FRIULI

(Legge 13 luglio 1999, n. 226)



Sezione 049030 RESIUTTA

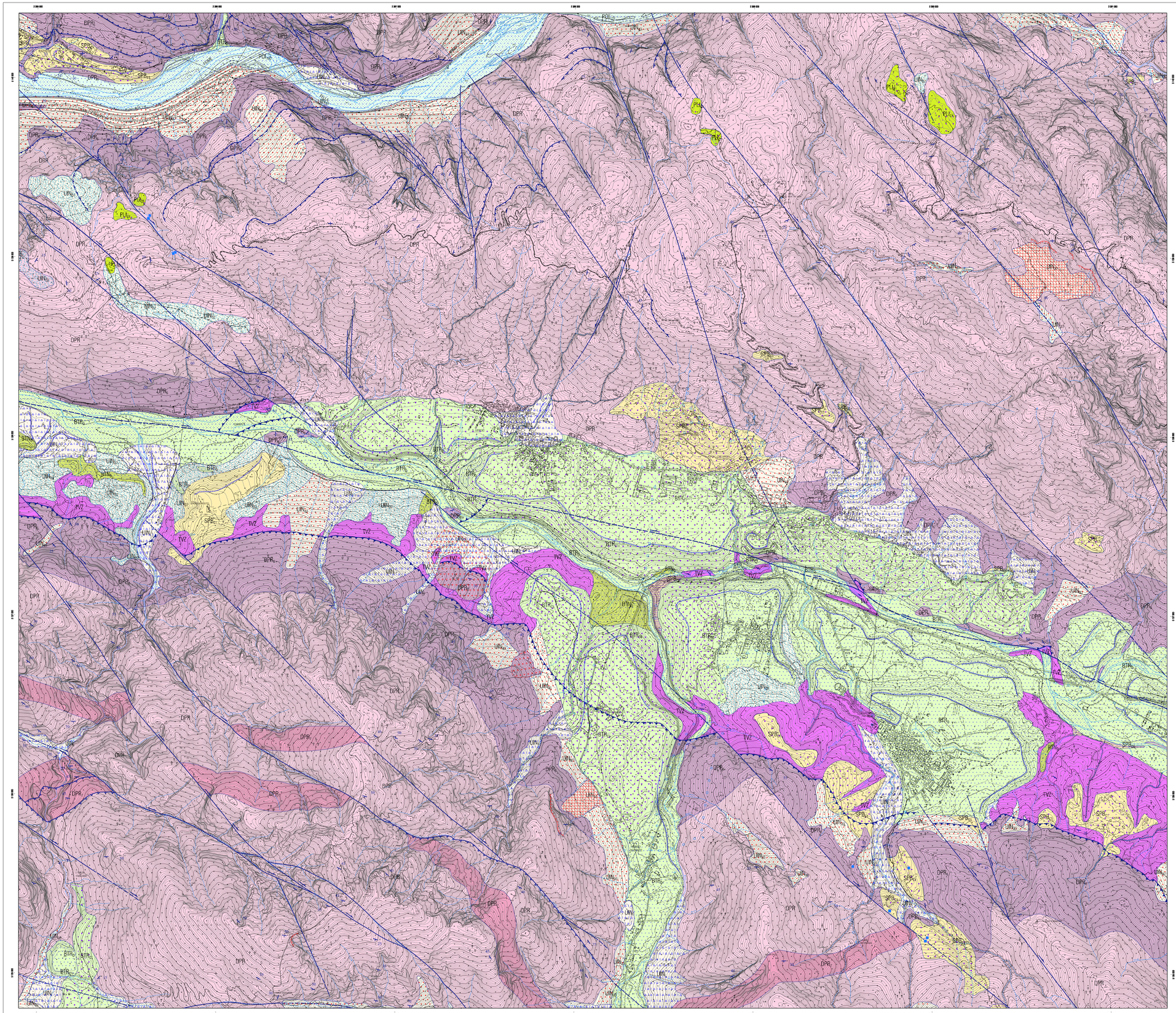
Responsabile di progetto: G. Lizzi
Regione Autonoma Friuli Venezia Giulia
Direzione Centrale Ambiente, Energia e Politiche per la Montagna

Coordinatore scientifico: A. Zanferrari
Università degli Studi di Udine
Dipartimento di Chimica, Fisica e Ambiente - Sez. Georisorse e Territorio

0 m 500 1000

Scala 1:10.000

Base cartografica elaborata da CTRN Regione Autonoma Friuli - Venezia Giulia
Le coordinate piane sono riferite al sistema di riferimento nazionale



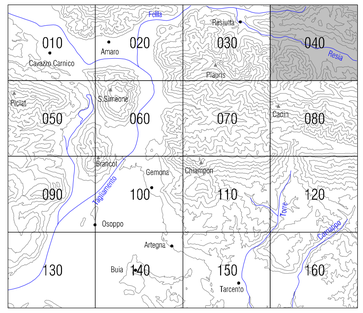
REGIONE AUTONOMA FRIULI VENEZIA GIULIA
servizio geologico

ISPRA - Istituto Superiore per la Protezione e la Ricerca Ambientale
SERVIZIO GEOLOGICO D'ITALIA

CARTA GEOLOGICA D'ITALIA

FOGLIO 049 GEMONA DEL FRIULI

(Legge 13 luglio 1999, n. 226)



Sezione 049040 RESIA

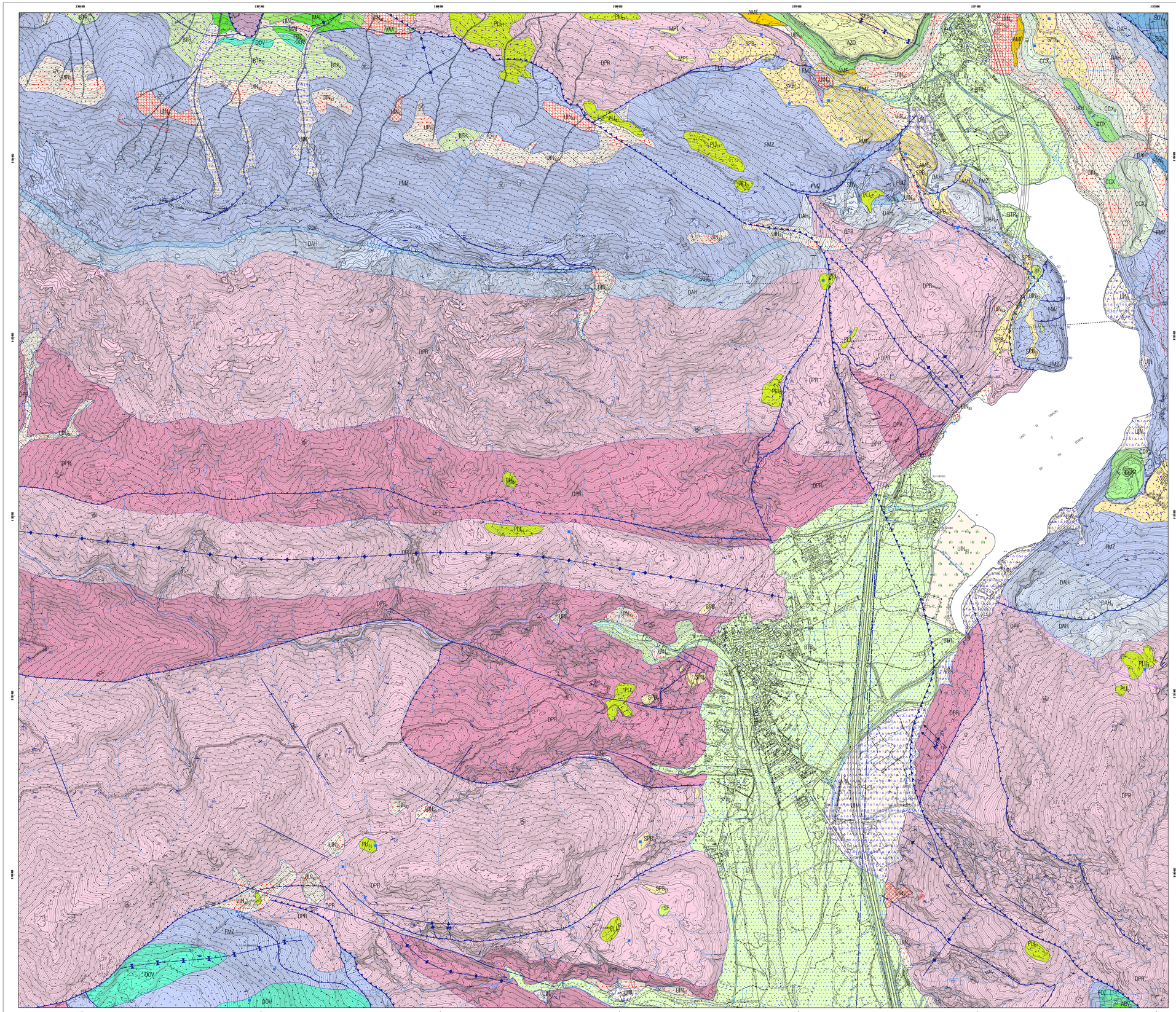
Responsabile di progetto: G. Lizzi
Regione Autonoma Friuli Venezia Giulia
Direzione Centrale Ambiente, Energia e Politiche per la Montagna

Coordinatore scientifico: A. Zanferrari
Università degli Studi di Udine
Dipartimento di Chimica, Fisica e Ambiente - Sez. Georisorse e Territorio

0 m 500 1000

Scala 1:10.000

Base cartografica elaborata da CTRN Regione Autonoma Friuli - Venezia Giulia
Le coordinate piane sono riferite al sistema di riferimento nazionale



REGIONE AUTONOMA FRIULI VENEZIA GIULIA

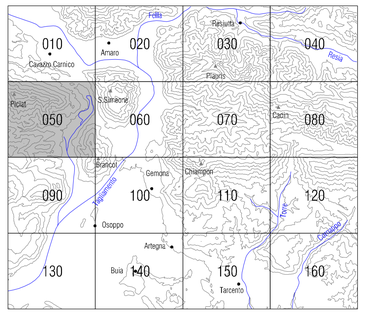
servizio geologico

ISPRA - Istituto Superiore per la Protezione e la Ricerca Ambientale
SERVIZIO GEOLOGICO D'ITALIA

CARTA GEOLOGICA D'ITALIA

FOGLIO 049 GEMONA DEL FRIULI

(Legge 13 luglio 1999, n. 226)



Sezione 049050 ALESSO

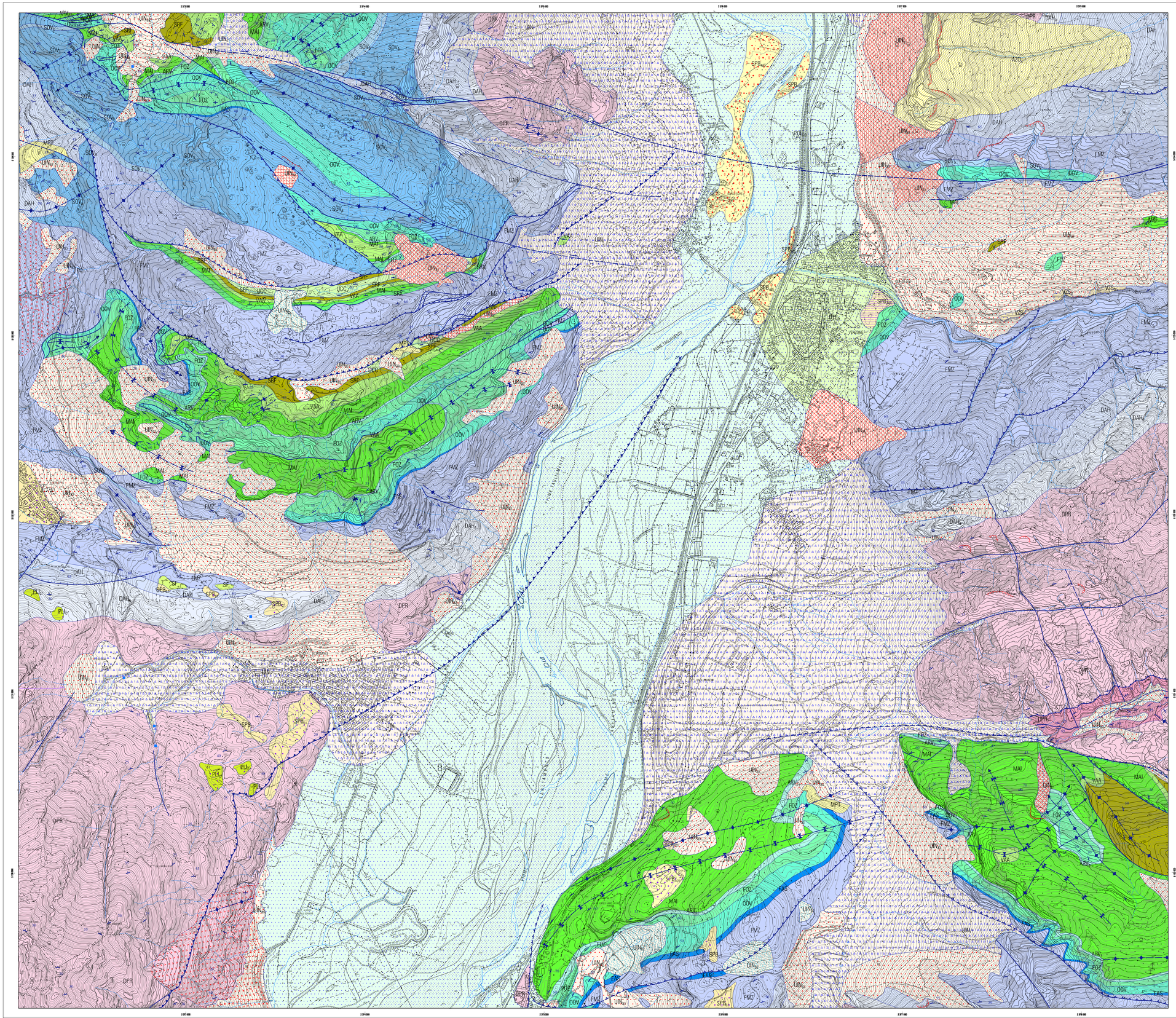
Responsabile di progetto: G. Lizzi
Regione Autonoma Friuli Venezia Giulia
Direzione Centrale Ambiente, Energia e Politiche per la Montagna

Coordinatore scientifico: A. Zanferrari
Università degli Studi di Udine
Dipartimento di Chimica, Fisica e Ambiente - Sez. Georisorse e Territorio

0 m 500 1000

Scala 1:10.000

Base cartografica elaborata da CTRN Regione Autonoma Friuli - Venezia Giulia
Le coordinate piane sono riferite al sistema di riferimento nazionale



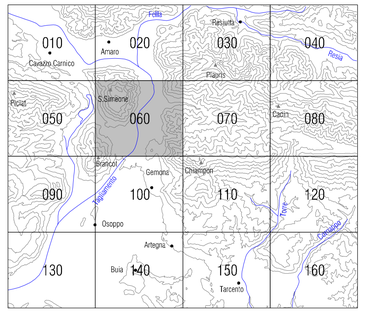
REGIONE AUTONOMA FRIULI VENEZIA GIULIA
servizio geologico

ISPRA - Istituto Superiore per la Protezione e la Ricerca Ambientale
SERVIZIO GEOLOGICO D'ITALIA

CARTA GEOLOGICA D'ITALIA

FOGLIO 049 GEMONA DEL FRIULI

(Legge 13 luglio 1999, n. 226)



Sezione 049060 VENZONE

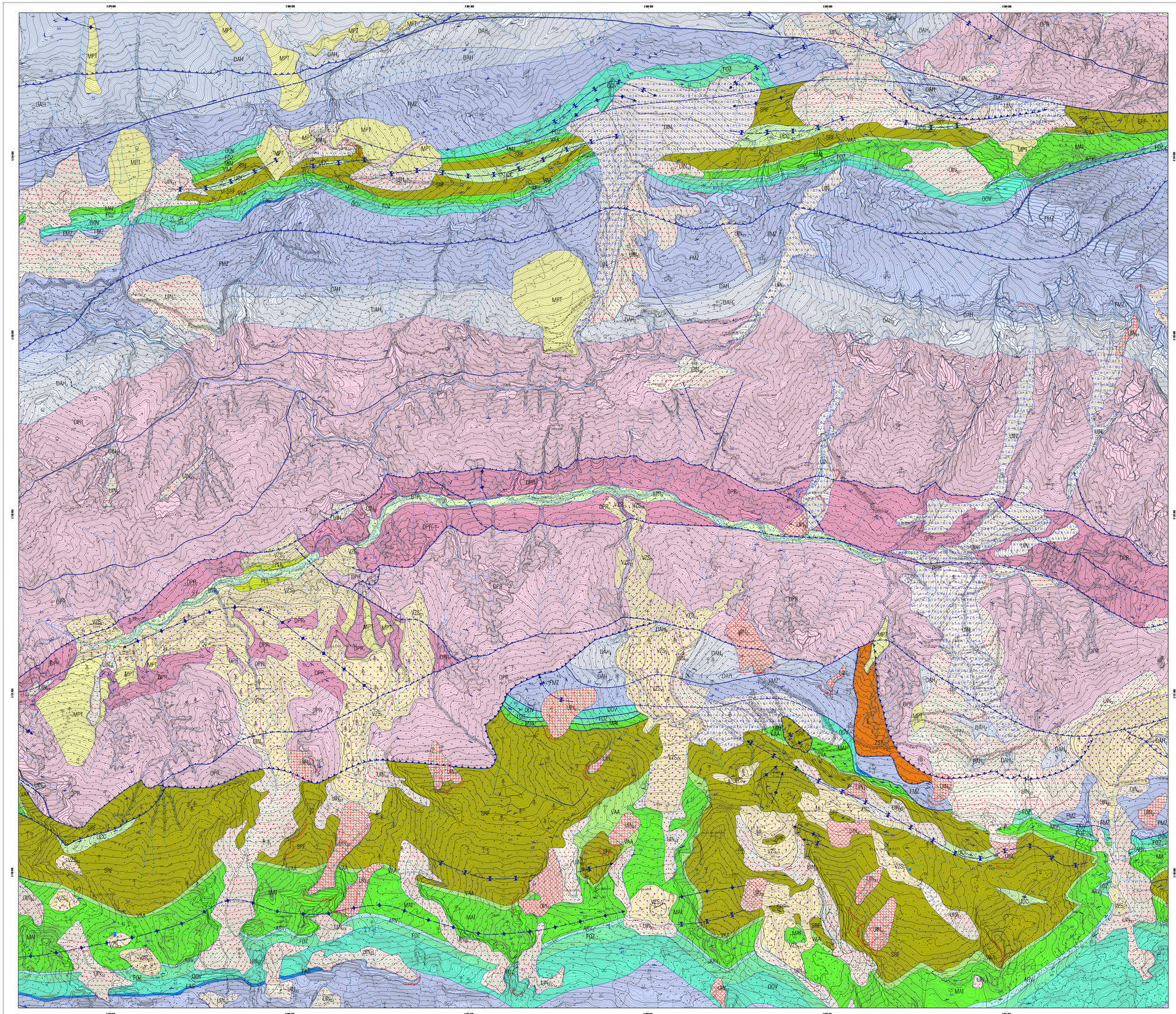
Responsabile di progetto: G. Lizzi
Regione Autonoma Friuli Venezia Giulia
Direzione Centrale Ambiente, Energia e Politiche per la Montagna

Coordinatore scientifico: A. Zanferrari
Università degli Studi di Udine
Dipartimento di Chimica, Fisica e Ambiente - Sez. Georisorse e Territorio

0 m 500 1000

Scala 1:10.000

Base cartografica elaborata da CTRN Regione Autonoma Friuli - Venezia Giulia
Le coordinate piane sono riferite al sistema di riferimento nazionale



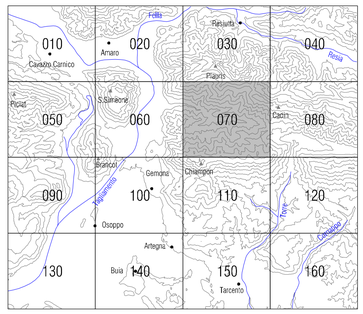
REGIONE AUTONOMA FRIULI VENEZIA GIULIA
servizio geologico

ISPRA - Istituto Superiore per la Protezione e la Ricerca Ambientale
SERVIZIO GEOLOGICO D'ITALIA

CARTA GEOLOGICA D'ITALIA

FOGLIO 049 GEMONA DEL FRIULI

(Legge 13 luglio 1999, n. 226)



Sezione 049070 BORGO PRABUNELLO

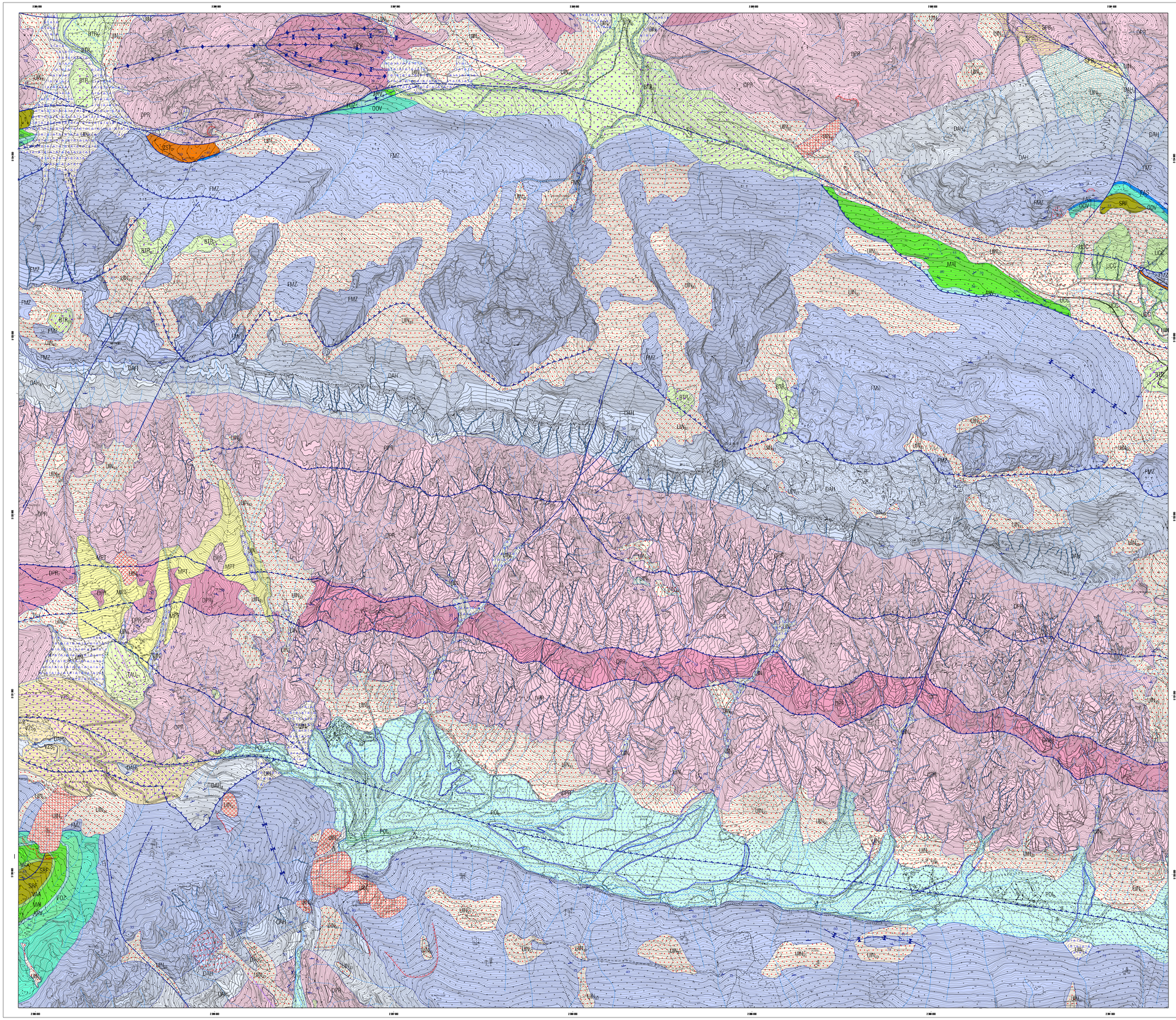
Responsabile di progetto: G. Lizzi
Regione Autonoma Friuli Venezia Giulia
Direzione Centrale Ambiente, Energia e Politiche per la Montagna

Coordinatore scientifico: A. Zanferrari
Università degli Studi di Udine
Dipartimento di Chimica, Fisica e Ambiente - Sez. Georisorse e Territorio

0 m 500 1000

Scala 1:10.000

Base cartografica elaborata da CTRN Regione Autonoma Friuli - Venezia Giulia
Le coordinate piane sono riferite al sistema di riferimento nazionale



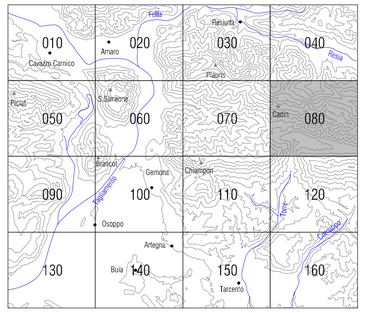
REGIONE AUTONOMA FRIULI VENEZIA GIULIA
servizio geologico

ISPRA - Istituto Superiore per la Protezione e la Ricerca Ambientale
SERVIZIO GEOLOGICO D'ITALIA

CARTA GEOLOGICA D'ITALIA

FOGLIO 049 GEMONA DEL FRIULI

(Legge 13 luglio 1999, n. 226)



Sezione 049080 TANATAVIELE

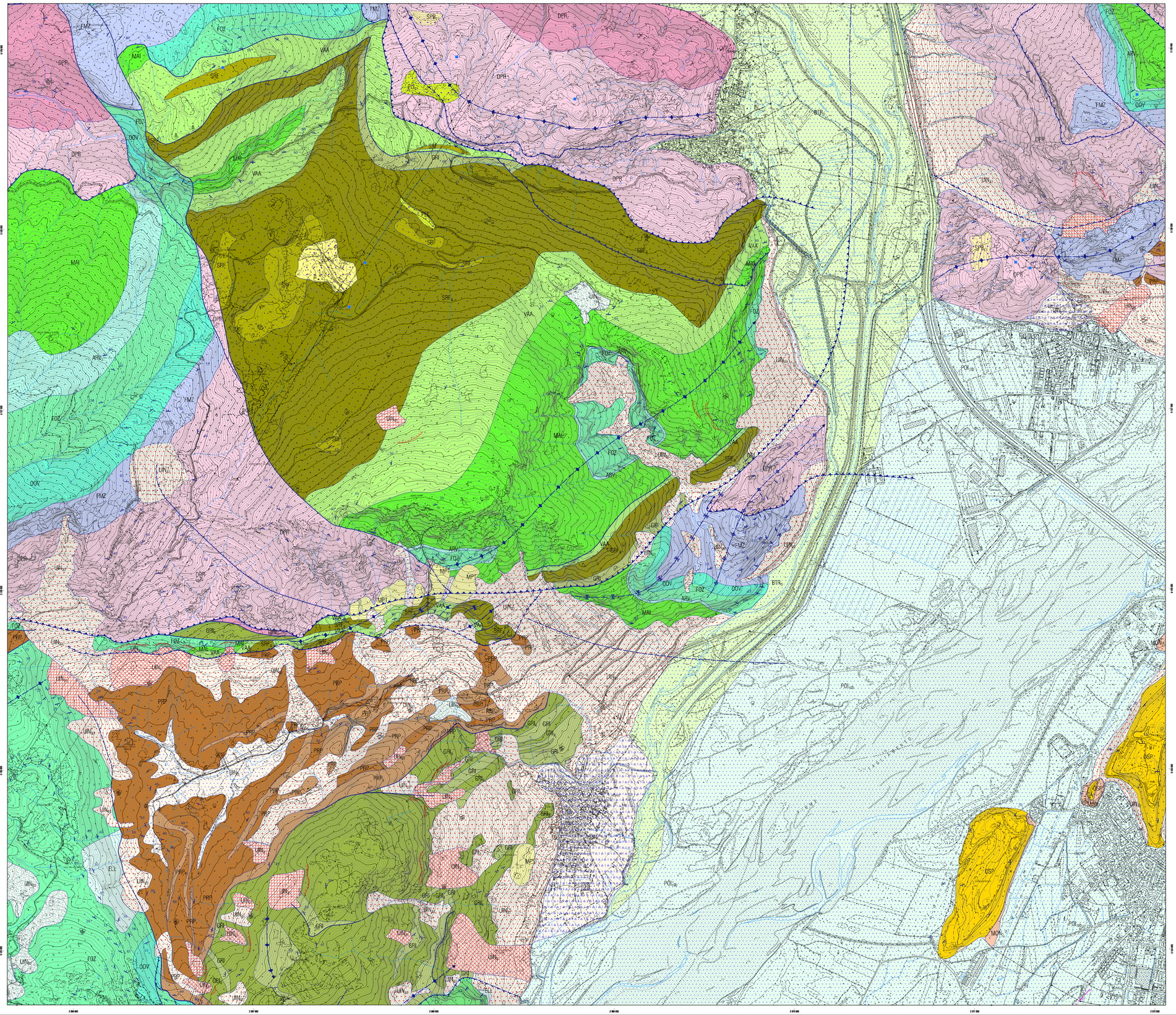
Responsabile di progetto: G. Lizzi
Regione Autonoma Friuli Venezia Giulia
Direzione Centrale Ambiente, Energia e Politiche per la Montagna

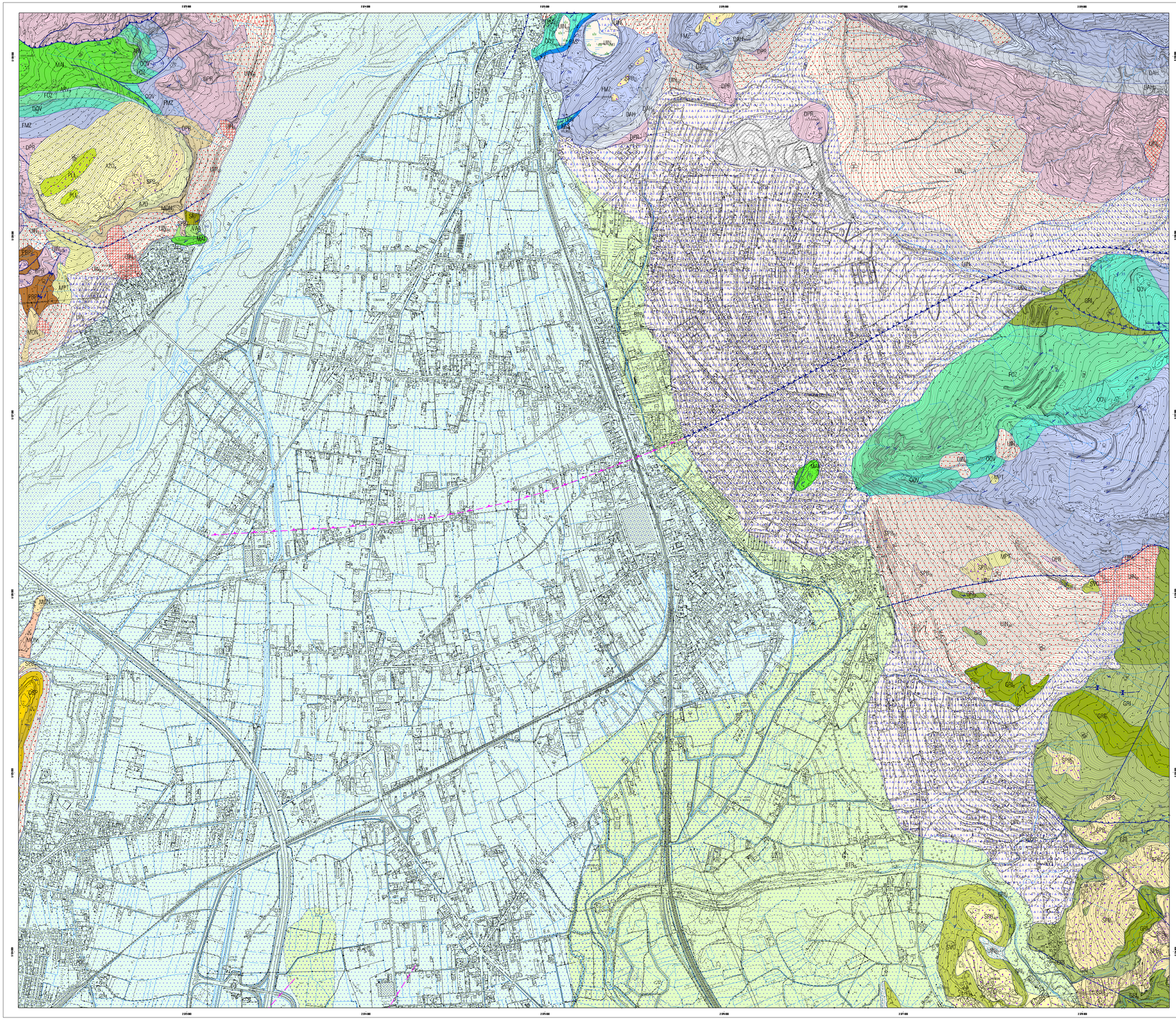
Coordinatore scientifico: A. Zanferrari
Università degli Studi di Udine
Dipartimento di Chimica, Fisica e Ambiente - Sez. Georisorse e Territorio

0 m 500 1000

Scala 1:10.000

Base cartografica elaborata da CTRN Regione Autonoma Friuli - Venezia Giulia
Le coordinate piane sono riferite al sistema di riferimento nazionale


FMZ
FOZ
VAA
MAI
SRF
DPR
DPH
DOV
DPB
GRI
PPR
PRF
ARV
UIN
UIN1
UIN2
UIN3
UIN4
UIN5
UIN6
UIN7
UIN8
UIN9
UIN10
UIN11
UIN12
UIN13
UIN14
UIN15
UIN16
UIN17
UIN18
UIN19
UIN20
UIN21
UIN22
UIN23
UIN24
UIN25
UIN26
UIN27
UIN28
UIN29
UIN30
UIN31
UIN32
UIN33
UIN34
UIN35
UIN36
UIN37
UIN38
UIN39
UIN40
UIN41
UIN42
UIN43
UIN44
UIN45
UIN46
UIN47
UIN48
UIN49
UIN50
UIN51
UIN52
UIN53
UIN54
UIN55
UIN56
UIN57
UIN58
UIN59
UIN60
UIN61
UIN62
UIN63
UIN64
UIN65
UIN66
UIN67
UIN68
UIN69
UIN70
UIN71
UIN72
UIN73
UIN74
UIN75
UIN76
UIN77
UIN78
UIN79
UIN80
UIN81
UIN82
UIN83
UIN84
UIN85
UIN86
UIN87
UIN88
UIN89
UIN90
UIN91
UIN92
UIN93
UIN94
UIN95
UIN96
UIN97
UIN98
UIN99
UIN100
UIN101
UIN102
UIN103
UIN104
UIN105
UIN106
UIN107
UIN108
UIN109
UIN110
UIN111
UIN112
UIN113
UIN114
UIN115
UIN116
UIN117
UIN118
UIN119
UIN120
UIN121
UIN122
UIN123
UIN124
UIN125
UIN126
UIN127
UIN128
UIN129
UIN130
UIN131
UIN132
UIN133
UIN134
UIN135
UIN136
UIN137
UIN138
UIN139
UIN140
UIN141
UIN142
UIN143
UIN144
UIN145
UIN146
UIN147
UIN148
UIN149
UIN150
UIN151
UIN152
UIN153
UIN154
UIN155
UIN156
UIN157
UIN158
UIN159
UIN160
UIN161
UIN162
UIN163
UIN164
UIN165
UIN166
UIN167
UIN168
UIN169
UIN170
UIN171
UIN172
UIN173
UIN174
UIN175
UIN176
UIN177
UIN178
UIN179
UIN180
UIN181
UIN182
UIN183
UIN184
UIN185
UIN186
UIN187
UIN188
UIN189
UIN190
UIN191
UIN192
UIN193
UIN194
UIN195
UIN196
UIN197
UIN198
UIN199
UIN200
UIN201
UIN202
UIN203
UIN204
UIN205
UIN206
UIN207
UIN208
UIN209
UIN210
UIN211
UIN212
UIN213
UIN214
UIN215
UIN216
UIN217
UIN218
UIN219
UIN220
UIN221
UIN222
UIN223
UIN224
UIN225
UIN226
UIN227
UIN228
UIN229
UIN230
UIN231
UIN232
UIN233
UIN234
UIN235
UIN236
UIN237
UIN238
UIN239
UIN240
UIN241
UIN242
UIN243
UIN244
UIN245
UIN246
UIN247
UIN248
UIN249
UIN250
UIN251
UIN252
UIN253
UIN254
UIN255
UIN256
UIN257
UIN258
UIN259
UIN260
UIN261
UIN262
UIN263
UIN264
UIN265
UIN266
UIN267
UIN268
UIN269
UIN270
UIN271
UIN272
UIN273
UIN274
UIN275
UIN276
UIN277
UIN278
UIN279
UIN280
UIN281
UIN282
UIN283
UIN284
UIN285
UIN286
UIN287
UIN288
UIN289
UIN290
UIN291
UIN292
UIN293
UIN294
UIN295
UIN296
UIN297
UIN298
UIN299
UIN300
UIN301
UIN302
UIN303
UIN304
UIN305
UIN306
UIN307
UIN308
UIN309
UIN310
UIN311
UIN312
UIN313
UIN314
UIN315
UIN316
UIN317
UIN318
UIN319
UIN320
UIN321
UIN322
UIN323
UIN324
UIN325
UIN326
UIN327
UIN328
UIN329
UIN330
UIN331
UIN332
UIN333
UIN334
UIN335
UIN336
UIN337
UIN338
UIN339
UIN340
UIN341
UIN342
UIN343
UIN344
UIN345
UIN346
UIN347
UIN348
UIN349
UIN350
UIN351
UIN352
UIN353
UIN354
UIN355
UIN356
UIN357
UIN358
UIN359
UIN360
UIN361
UIN362
UIN363
UIN364
UIN365
UIN366
UIN367
UIN368
UIN369
UIN370
UIN371
UIN372
UIN373
UIN374
UIN375
UIN376
UIN377
UIN378
UIN379
UIN380
UIN381
UIN382
UIN383
UIN384
UIN385
UIN386
UIN387
UIN388
UIN389
UIN390
UIN391
UIN392
UIN393
UIN394
UIN395
UIN396
UIN397
UIN398
UIN399
UIN400
UIN401
UIN402
UIN403
UIN404
UIN405
UIN406
UIN407
UIN408
UIN409
UIN410
UIN411
UIN412
UIN413
UIN414
UIN415
UIN416
UIN417
UIN418
UIN419
UIN420
UIN421
UIN422
UIN423
UIN424
UIN425
UIN426
UIN427
UIN428
UIN429
UIN430
UIN431
UIN432
UIN433
UIN434
UIN435
UIN436
UIN437
UIN438
UIN439
UIN440
UIN441
UIN442
UIN443
UIN444
UIN445
UIN446
UIN447
UIN448
UIN449
UIN450
UIN451
UIN452
UIN453
UIN454
UIN455
UIN456
UIN457
UIN458
UIN459
UIN460
UIN461
UIN462
UIN463
UIN464
UIN465
UIN466
UIN467
UIN468
UIN469
UIN470
UIN471
UIN472
UIN473
UIN474
UIN475
UIN476
UIN477
UIN478
UIN479
UIN480
UIN481
UIN482
UIN483
UIN484
UIN485
UIN486
UIN487
UIN488
UIN489
UIN490
UIN491
UIN492
UIN493
UIN494
UIN495
UIN496
UIN497
UIN498
UIN499
UIN500
UIN501
UIN502
UIN503
UIN504
UIN505
UIN506
UIN507
UIN508
UIN509
UIN510
UIN511
UIN512
UIN513
UIN514
UIN515
UIN516
UIN517
UIN518
UIN519
UIN520
UIN521
UIN522
UIN523
UIN524
UIN525
UIN526
UIN527
UIN528
UIN529
UIN530
UIN531
UIN532
UIN533
UIN534
UIN535
UIN536
UIN537
UIN538
UIN539
UIN540
UIN541
UIN542
UIN543
UIN544
UIN545
UIN546
UIN547
UIN548
UIN549
UIN550
UIN551
UIN552
UIN553
UIN554
UIN555
UIN556
UIN557
UIN558
UIN559
UIN560
UIN561
UIN562
UIN563
UIN564
UIN565
UIN566
UIN567
UIN568
UIN569
UIN570
UIN571
UIN572
UIN573
UIN574
UIN575
UIN576
UIN577
UIN578
UIN579
UIN580
UIN581
UIN582
UIN583
UIN584
UIN585
UIN586
UIN587
UIN588
UIN589
UIN590
UIN591
UIN592
UIN593
UIN594
UIN595
UIN596
UIN597
UIN598
UIN599
UIN600
UIN601
UIN602
UIN603
UIN604
UIN605
UIN606
UIN607
UIN608
UIN609
UIN610
UIN611
UIN612
UIN613
UIN614
UIN615
UIN616
UIN617
UIN618
UIN619
UIN620
UIN621
UIN622
UIN623
UIN624
UIN625
UIN626
UIN627
UIN628
UIN629
UIN630
UIN631
UIN632
UIN633
UIN634
UIN635
UIN636
UIN637
UIN638
UIN639
UIN640
UIN641
UIN642
UIN643
UIN644
UIN645
UIN646
UIN647
UIN648
UIN649
UIN650
UIN651
UIN652
UIN653
UIN654
UIN655
UIN656
UIN657
UIN658
UIN659
UIN660
UIN661
UIN662
UIN663
UIN664
UIN665
UIN666
UIN667
UIN668
UIN669
UIN670
UIN671
UIN672
UIN673
UIN674
UIN675
UIN676
UIN677
UIN678
UIN679
UIN680
UIN681
UIN682
UIN683
UIN684
UIN685
UIN686
UIN687
UIN688
UIN689
UIN690
UIN691
UIN692
UIN693
UIN694
UIN695
UIN696
UIN697
UIN698
UIN699
UIN700
UIN701
UIN702
UIN703
UIN704
UIN705
UIN706
UIN707
UIN708
UIN709
UIN710
UIN711
UIN712
UIN713
UIN714
UIN715
UIN716
UIN717
UIN718
UIN719
UIN720
UIN721
UIN722
UIN723
UIN724
UIN725
UIN726
UIN727
UIN728
UIN729
UIN730
UIN731
UIN732
UIN733
UIN734
UIN735
UIN736
UIN737
UIN738
UIN739
UIN740
UIN741
UIN742
UIN743
UIN744
UIN745
UIN746
UIN747
UIN748
UIN749
UIN750
UIN751
UIN752
UIN753
UIN754
UIN755
UIN756
UIN757
UIN758
UIN759
UIN760
UIN761
UIN762
UIN763
UIN764
UIN765
UIN766
UIN767
UIN768
UIN769
UIN770
UIN771
UIN772
UIN773
UIN774
UIN775
UIN776
UIN777
UIN778
UIN779
UIN780
UIN781
UIN782
UIN783
UIN784
UIN785
UIN786
UIN787
UIN788
UIN789
UIN790
UIN791
UIN792
UIN793
UIN794
UIN795
UIN796
UIN797
UIN798
UIN799
UIN800
UIN801
UIN802
UIN803
UIN804
UIN805
UIN806
UIN807
UIN808
UIN809
UIN810
UIN811
UIN812
UIN813
UIN814
UIN815
UIN816
UIN817
UIN818
UIN819
UIN820
UIN821
UIN822
UIN823
UIN824
UIN825
UIN826
UIN827
UIN828
UIN829
UIN830
UIN831
UIN832
UIN833
UIN834
UIN835
UIN836
UIN837
UIN838
UIN839
UIN840
UIN841
UIN842
UIN843
UIN844
UIN845
UIN846
UIN847
UIN848
UIN849
UIN850
UIN851
UIN852
UIN853
UIN854
UIN855
UIN856
UIN857
UIN858
UIN859
UIN860
UIN861
UIN862
UIN863
UIN864
UIN865
UIN866
UIN867
UIN868
UIN869
UIN870
UIN871
UIN872
UIN873
UIN874
UIN875
UIN876
UIN877
UIN878
UIN879
UIN880
UIN881
UIN882
UIN883
UIN884
UIN885
UIN886
UIN887
UIN888
UIN889
UIN890
UIN891
UIN892
UIN893
UIN894
UIN895
UIN896
UIN897
UIN898
UIN899
UIN900
UIN901
UIN902
UIN903
UIN904
UIN905
UIN906
UIN907
UIN908
UIN909
UIN910
UIN911
UIN912
UIN913
UIN914
UIN915
UIN916
UIN917
UIN918
UIN919
UIN920
UIN921
UIN922
UIN923
UIN924
UIN925
UIN926
UIN927
UIN928
UIN929
UIN930
UIN931
UIN932
UIN933
UIN934
UIN935
UIN936
UIN937
UIN938
UIN939
UIN940
UIN941
UIN942
UIN943
UIN944
UIN945
UIN946
UIN947
UIN948
UIN949
UIN950
UIN951
UIN952
UIN953
UIN954
UIN955
UIN956
UIN957
UIN958
UIN959
UIN960
UIN961
UIN962
UIN963
UIN964
UIN965
UIN966
UIN967
UIN968
UIN969
UIN970
UIN971
UIN972
UIN973
UIN974
UIN975
UIN976
UIN977
UIN978
UIN979
UIN980
UIN981
UIN982
UIN983
UIN984
UIN985
UIN986
UIN987
UIN988
UIN989
UIN990
UIN991
UIN992
UIN993
UIN994
UIN995
UIN996
UIN997
UIN998
UIN999
UIN1000
UIN1001
UIN1002
UIN1003
UIN1004
UIN1005
UIN1006
UIN1007
UIN1008
UIN1009
UIN1010
UIN1011
UIN1012
UIN1013
UIN1014
UIN1015
UIN1016
UIN1017
UIN1018
UIN1019
UIN1020
UIN1021
UIN1022
UIN1023
UIN1024
UIN1025
UIN1026
UIN1027
UIN1028
UIN1029
UIN1030
UIN1031
UIN1032
UIN1033
UIN1034
UIN1035
UIN1036
UIN1037
UIN1038
UIN1039
UIN1040
UIN1041
UIN1042
UIN1043
UIN1044
UIN1045
UIN1046
UIN1047
UIN1048
UIN1049
UIN1050
UIN1051
UIN1052
UIN1053
UIN1054
UIN1055
UIN1056
UIN1057
UIN1058
UIN1059
UIN1060
UIN1061
UIN1062
UIN1063
UIN1064
UIN1065
UIN1066
UIN1067
UIN1068
UIN1069
UIN1070
UIN1071
UIN1072
UIN1073
UIN1074
UIN1075
UIN1076
UIN1077
UIN1078
UIN1079
UIN1080
UIN1081
UIN1082
UIN1083
UIN1084
UIN1085
UIN1086
UIN1087
UIN1088
UIN1089
UIN1090
UIN1091
UIN1092
UIN1093
UIN1094
UIN1095
UIN1096
UIN1097
UIN1098
UIN1099
UIN1100
UIN1101
UIN1102
UIN1103
UIN1104
UIN1105
UIN1106
UIN1107
UIN1108
UIN1109
UIN1110
UIN1111
UIN1112
UIN1113
UIN1114
UIN1115
UIN1116
UIN1117
UIN1118
UIN1119
UIN1120
UIN1121
UIN1122
UIN1123
UIN1124
UIN1125
UIN1126
UIN1127
UIN1128
UIN1129
UIN1130
UIN1131
UIN1132
UIN1133
UIN1134
UIN1135
UIN1136
UIN1137
UIN1138
UIN1139
UIN1140
UIN1141
UIN1142
UIN1143
UIN1144
UIN1145
UIN1146
UIN1147
UIN1148
UIN1149
UIN1150
UIN1151
UIN1152
UIN1153
UIN1154
UIN1155
UIN1156
UIN1157
UIN1158
UIN1159
UIN1160
UIN1161
UIN1162
UIN1163
UIN1164
UIN1165
UIN1166
UIN1167
UIN1168
UIN1169
UIN1170
UIN1171
UIN1172
UIN1173
UIN1174
UIN1175
UIN1176
UIN1177
UIN1178
UIN1179
UIN1180
UIN1181
UIN1182
UIN1183
UIN1184
UIN1185
UIN1186
UIN1187
UIN1188
UIN1189
UIN1190
UIN1191
UIN1192
UIN1193
UIN1194
UIN1195
UIN1196
UIN1197
UIN1198
UIN1199
UIN1200
UIN1201
UIN1202
UIN1203
UIN1204
UIN1205
UIN1206
UIN1207
UIN1208
UIN1209
UIN1210
UIN1211
UIN1212
UIN1213
UIN1214
UIN1215
UIN1216
UIN1217
UIN1218
UIN1219
UIN1220
UIN1221
UIN1222
UIN1223
UIN1224
UIN1225
UIN1226
UIN1227
UIN1228
UIN1229
UIN1230
UIN1231
UIN1232
UIN1233
UIN1234
UIN1235
UIN1236
UIN1237
UIN1238
UIN1239
UIN1240
UIN1241
UIN1242
UIN1243
UIN1244
UIN1245
UIN1246
UIN1247
UIN1248
UIN1249
UIN1250
UIN1251
UIN1252
UIN1253
UIN1254
UIN1255
UIN1256
UIN1257
UIN1258
UIN1259
UIN1260
UIN1261
UIN1262
UIN1263
UIN1264
UIN1265
UIN1266
UIN1267
UIN1268
UIN1269
UIN1270
UIN1271
UIN1272
UIN1273
UIN1274
UIN1275
UIN1276
UIN1277
UIN1278
UIN1279
UIN1280
UIN1281
UIN1282
UIN1283
UIN1284
UIN1285
UIN1286
UIN1287
UIN1288
UIN1289
UIN1290
UIN1291
UIN1292
UIN1293
UIN1294
UIN1295
UIN1296
UIN1297
UIN1298
UIN1299
UIN1300
UIN1301
UIN1302
UIN1303
UIN1304
UIN1305
UIN1306
UIN1307
UIN1308
UIN1309
UIN1310
UIN1311
UIN1312
UIN1313
UIN1314
UIN1315
UIN1316
UIN1317
UIN1318
UIN1319
UIN1320
UIN1321
UIN1322
UIN1323
UIN1324
UIN1325
UIN1326
UIN1327
UIN1328
UIN1329
UIN1330
UIN1331
UIN1332
UIN1333
UIN1334
UIN1335
UIN1336
UIN1337
UIN1338
UIN1339
UIN1340
UIN1341
UIN1342
UIN1343
UIN1344
UIN1345
UIN1346
UIN1347
UIN1348
UIN1349
UIN1350
UIN1351
UIN1352
UIN1353
UIN1354
UIN1355
UIN1356
UIN1357
UIN1358
UIN1359
UIN1360
UIN1361
UIN1362
UIN1363
UIN1364
UIN1365
UIN1366
UIN1367
UIN1368
UIN1369
UIN1370
UIN1371
UIN1372
UIN1373
UIN1374
UIN1375
UIN1376
UIN1377
UIN1378
UIN1379
UIN1380
UIN1381
UIN1382
UIN1383
UIN1384
UIN1385
UIN1386
UIN1387
UIN1388
UIN1389
UIN1390
UIN1391
UIN1392
UIN1393
UIN1394
UIN1395
UIN1396
UIN1397
UIN1398
UIN1399
UIN1400
UIN1401
UIN1402
UIN1403
UIN1404
UIN1405
UIN1406
UIN1407
UIN1408
UIN1409
UIN1410
UIN1411
UIN1412
UIN1413
UIN1414
UIN1415
UIN1416
UIN1417
UIN1418
UIN1419
UIN1420
UIN1421
UIN1422
UIN1423
UIN1424
UIN1425
UIN1426
UIN1427
UIN1428
UIN1429
UIN1430
UIN1431
UIN1432
UIN1433
UIN1434
UIN1435
UIN1436
UIN1437
UIN1438
UIN1439
UIN1440
UIN1441
UIN1442
UIN1443
UIN1444
UIN1445
UIN1446
UIN1447
UIN1448
UIN1449
UIN1450
UIN1451
UIN1452
UIN1453
UIN1454
UIN1455
UIN1456
UIN1457
UIN1458
UIN1459
UIN1460
UIN1461
UIN1462
UIN1463
UIN1464
UIN1465
UIN1466
UIN1467
UIN1468
UIN1469
UIN1470
UIN1471
UIN1472
UIN1473
UIN1474
UIN1475
UIN1476
UIN1477
UIN1478
UIN1479
UIN1480
UIN1481
UIN1482
UIN1483
UIN1484
UIN1485
UIN1486
UIN1487
UIN1488
UIN1489
UIN1490
UIN1491
UIN1492
UIN1493
UIN1494
UIN1495
UIN1496
UIN1497
UIN1498
UIN1499
UIN1500
UIN1501
UIN1502
UIN1503
UIN1504
UIN1505
UIN1506
UIN1507
UIN1508
UIN1509
UIN1510
UIN1511
UIN1512
UIN1513
UIN1514
UIN1515
UIN1516
UIN1517
UIN1518
UIN1519
UIN1520
UIN1521
UIN1522
UIN1523
UIN1524
UIN1525
UIN1526
UIN1527
UIN1528
UIN1529
UIN1530
UIN1531
UIN1532
UIN1533
UIN1534
UIN1535
UIN1536
UIN1537
UIN1538
UIN1539
UIN1540
UIN1541
UIN1542
UIN1543
UIN1544
UIN1545
UIN1546
UIN1547
UIN1548
UIN1549
UIN1550
UIN1551
UIN1552
UIN1553
UIN1554
UIN1555
UIN1556
UIN1557
UIN1558
UIN1559
UIN1560
UIN1561
UIN1562
UIN1563
UIN1564
UIN1565
UIN1566
UIN1567
UIN1568
UIN1569
UIN1570
UIN1571
UIN1572
UIN1573
UIN1574
UIN1575
UIN1576
UIN1577
UIN1578
UIN1579
UIN1580
UIN1581
UIN1582
UIN1583
UIN1584
UIN1585
UIN1586
UIN1587
UIN1588
UIN1589
UIN1590
UIN1591
UIN1592
UIN1593
UIN1594
UIN1595
UIN1596
UIN1597
UIN1598
UIN1599
UIN1600
UIN1601
UIN1602
UIN1603
UIN1604
UIN1605
UIN1606
UIN1607
UIN1608
UIN1609
UIN1610
UIN1611
UIN1612
UIN1613
UIN1614
UIN1615
UIN1616
UIN1617
UIN1618
UIN1619
UIN1620
UIN1621
UIN1622
UIN1623
UIN1624
UIN1625
UIN1626
UIN1627
UIN1628
UIN1629
UIN1630
UIN1631
UIN1632
UIN1633
UIN1634
UIN1635
UIN1636
UIN1637
UIN1638
UIN1639
UIN1640
UIN1641
UIN1642
UIN1643
UIN1644
UIN1645
UIN1646
UIN1647
UIN1648
UIN1649
UIN1650
UIN1651
UIN1652
UIN1653
UIN1654
UIN1655
UIN1656
UIN1657
UIN1658
UIN1659
UIN1660
UIN1661
UIN1662
UIN1663
UIN1664
UIN1665
UIN1666
UIN1667
UIN1668
UIN1669
UIN1670
UIN1671
UIN1672
UIN1673
UIN1674
UIN1675
UIN1676
UIN1677
UIN1678
UIN1679
UIN1680
UIN1681
UIN1682
UIN1683
UIN1684
UIN1685
UIN1686
UIN1687
UIN1688
UIN1689
UIN1690
UIN1691
UIN1692
UIN1693
UIN1694
UIN1695
UIN1696
UIN1697
UIN1698
UIN1699
UIN1700
UIN1701
UIN1702
UIN1703
UIN1704
UIN1705
UIN1706
UIN1707
UIN1708
UIN1709
UIN1710
UIN1711
UIN1712
UIN1713
UIN1714
UIN1715
UIN1716
UIN1717
UIN1718
UIN1719
UIN1720
UIN1721
UIN1722
UIN1723
UIN1724
UIN1725
UIN1726
UIN1727
UIN1728
UIN1729
UIN1730
UIN1731
UIN1732
UIN1733
UIN1734
UIN1735
UIN1736
UIN1737
UIN1738
UIN1739
UIN1740
UIN1741
UIN1742
UIN1743
UIN1744
UIN1745
UIN1746
UIN1747
UIN1748
UIN1749
UIN1750
UIN1751
UIN1752
UIN1753
UIN1754
UIN1755
UIN1756
UIN1757
UIN1758
UIN1759
UIN1760
UIN1761
UIN1762
UIN1763
UIN1764
UIN1765
UIN1766
UIN1767
UIN1768
UIN1769
UIN1770
UIN1771
UIN1772
UIN1773
UIN1774
UIN1775
UIN1776
UIN1777
UIN1778
UIN1779
UIN1780
UIN1781
UIN1782
UIN1783
UIN1784
UIN1785
UIN1786
UIN1787
UIN1788
UIN1789
UIN1790
UIN1791
UIN1792
UIN1793
UIN1794
UIN1795
UIN1796
UIN1797
UIN1798
UIN1799
UIN1800
UIN1801
UIN1802
UIN1803
UIN1804
UIN1805
UIN1806
UIN1807
UIN1808
UIN1809
UIN1810
UIN1811
UIN1812
UIN1813
UIN1814
UIN1815
UIN1816
UIN1817
UIN1818
UIN1819
UIN1820
UIN1821
UIN1822
UIN1823
UIN1824
UIN1825
UIN1826
UIN1827
UIN1828
UIN1829
UIN1830
UIN1831
UIN1832
UIN1833
UIN1834
UIN1835
UIN1836
UIN1837
UIN1838
UIN1839
UIN1840
UIN1841
UIN1842
UIN1843
UIN1844
UIN1845
UIN1846
UIN1847
UIN1848
UIN1849
UIN1850
UIN1851
UIN1852
UIN1853
UIN1854
UIN1855
UIN1856
UIN1857
UIN1858
UIN1859
UIN1860
UIN1861
UIN1862
UIN1863
UIN1864
UIN1865
UIN1866
UIN1867
UIN1868
UIN1869
UIN1870
UIN1871
UIN1872
UIN1873
UIN1874
UIN1875
UIN1876
UIN1877
UIN1878
UIN1879
UIN1880
UIN1881
UIN1882
UIN1883
UIN1884
UIN1885
UIN1886
UIN1887
UIN1888
UIN1889
UIN1890
UIN1891
UIN1892
UIN1893
UIN1894
UIN1895
UIN1896
UIN1897
UIN1898
UIN1899
UIN1900
UIN1901
UIN1902
UIN1903
UIN1904
UIN1905
UIN1906
UIN1907
UIN1908
UIN1909
UIN1910
UIN1911
UIN1912
UIN1913
UIN1914
UIN1915
UIN1916
UIN1917
UIN1918
UIN1919
UIN1920
UIN1921
UIN1922
UIN1923
UIN1924
UIN1925
UIN1926
UIN1927
UIN1928
UIN1929
UIN1930
UIN1931
UIN1932
UIN1933
UIN1934
UIN1935
UIN1936
UIN1937
UIN1938
UIN1939
UIN1940
UIN1941
UIN1942
UIN1943
UIN1944
UIN1945
UIN1946
UIN1947
UIN1948
UIN1949
UIN1950
UIN1951
UIN1952
UIN1953
UIN1954
UIN1955
UIN1956
UIN1957
UIN1958
UIN1959
UIN1960
UIN1961
UIN1962
UIN1963
UIN1964
UIN1965
UIN1966
UIN1967
UIN1968
UIN1969
UIN1970
UIN1971
UIN1972
UIN1973
UIN1974
UIN1975
UIN1976
UIN1977
UIN1978
UIN1979
UIN1980
UIN1981
UIN1982
UIN1983
UIN1984
UIN1985
UIN1986
UIN1987
UIN1988
UIN1989
UIN1990
UIN1991
UIN1992
UIN1993
UIN1994
UIN1995
UIN1996
UIN1997
UIN1998
UIN1999
UIN2000
UIN2001
UIN2002
UIN2003
UIN2004
UIN2005
UIN2006
UIN2007
UIN2008
UIN2009
UIN2010
UIN2011
UIN2012
UIN2013
UIN2014
UIN2015
UIN2016
UIN2017
UIN2018
UIN2019
UIN2020
UIN2021
UIN2022
UIN2023
UIN2024
UIN2025
UIN2026
UIN2027
UIN2028
UIN2029
UIN2030
UIN2031
UIN2032
UIN2033
UIN2034
UIN2035
UIN2036
UIN2037
UIN2038
UIN2039
UIN2040
UIN2041
UIN2042
UIN2043
UIN2044
UIN2045
UIN2046
UIN2047
UIN2048
UIN2049
UIN2050
UIN2051
UIN2052
UIN2053
UIN2054
UIN2055
UIN2056
UIN2057
UIN2058
UIN2059
UIN2060
UIN2061
UIN2062
UIN2063
UIN2064
UIN2065
UIN2066
UIN2067
UIN2068
UIN2069
UIN2070
UIN2071
UIN2072
UIN2073
UIN2074
UIN2075
UIN2076
UIN2077
UIN2078
UIN2079
UIN2080
UIN2081
UIN2082
UIN2083
UIN2084
UIN2085
UIN2086
UIN2087
UIN2088
UIN2089
UIN2090
UIN2091
UIN2092
UIN2093
UIN2094
UIN2095
UIN2096
UIN2097
UIN2098
UIN2099
UIN2100
UIN2101
UIN2102
UIN2103
UIN2104
UIN2105
UIN2106
UIN2107
UIN2108
UIN2109
UIN2110
UIN2111
UIN2112
UIN2113
UIN2114
UIN2115
UIN2116
UIN2117
UIN2118
UIN2119
UIN2120
UIN2121
UIN2122
UIN2123
UIN2124
UIN2125
UIN2126
UIN2127
UIN2128
UIN2129
UIN2130
UIN2131
UIN2132
UIN2133
UIN2134
UIN2135
UIN2136
UIN2137
UIN2138
UIN2139
UIN2140
UIN2141
UIN2142
UIN2143
UIN2144
UIN2145
UIN2146
UIN2147
UIN2148
UIN2149
UIN2150
UIN2151
UIN2152
UIN2153
UIN2154
UIN2155
UIN2156
UIN2157
UIN2158
UIN2159
UIN2160
UIN2161
UIN2162
UIN2163
UIN2164
UIN2165
UIN2166
UIN2167
UIN2168
UIN2169
UIN2170
UIN2171
UIN2172
UIN2173
UIN2174
UIN2175
UIN2176
UIN2177
UIN2178
UIN2179
UIN2180
UIN2181
UIN2182
UIN2183
UIN2184
UIN2185
UIN2186
UIN2187
UIN2188
UIN2189
UIN2190
UIN2191
UIN2192
UIN2193
UIN2194
UIN2195
UIN2196
UIN2197
UIN2198
UIN2199
UIN2200
UIN2201
UIN2202
UIN2203
UIN2204
UIN2205
UIN2206
UIN2207
UIN2208
UIN2209
UIN2210
UIN2211
UIN2212
UIN2213
UIN2214
UIN2215
UIN2216
UIN2217
UIN2218
UIN2219
UIN2220
UIN2221
UIN2222
UIN2223
UIN2224
UIN2225
UIN2226
UIN2227
UIN2228
UIN2229
UIN2230
UIN2231
UIN2232
UIN2233
UIN2234
UIN2235
UIN2236
UIN2237
UIN2238
UIN2239
UIN2240
UIN2241
UIN2242
UIN2243
UIN2244
UIN2245
UIN2246
UIN2247
UIN2248
UIN2249
UIN2250
UIN2251
UIN2252
UIN2253
UIN2254
UIN2255
UIN2256
UIN2257
UIN2258
UIN2259
UIN2260
UIN2261
UIN2262
UIN2263
UIN2264
UIN2265
UIN2266
UIN2267
UIN2268
UIN2269
UIN2270
UIN2271
UIN2272
UIN2273
UIN2274
UIN2275
UIN2276
UIN2277
UIN2278
UIN2279
UIN2280
UIN2281
UIN2282
UIN2283
UIN2284
UIN2285
UIN2286
UIN2287
UIN2288
UIN2289
UIN2290
UIN2291
UIN2292
UIN2293
UIN2294
UIN2295
UIN2296
UIN2297
UIN2298
UIN2299
UIN2300
UIN2301
UIN2302
UIN2303
UIN2304
UIN2305
UIN2306
UIN2307
UIN2308
UIN2309
UIN2310
UIN2311
UIN2312
UIN2313
UIN2314
UIN2315
UIN2316
UIN2317
UIN2318
UIN2319
UIN2320
UIN2321
UIN2322
UIN2323
UIN2324
UIN2325
UIN2326
UIN2327
UIN2328
UIN2329
UIN2330
UIN2331
UIN2332
UIN2333
UIN2334
UIN2335
UIN2336
UIN2337
UIN2338
UIN2339
UIN2340
UIN2341
UIN2342
UIN2343
UIN2344
UIN2345
UIN2346
UIN2347
UIN2348
UIN2349
UIN2350
UIN2351
UIN2352
UIN2353
UIN2354
UIN2355
UIN2356
UIN2357
UIN2358
UIN2359
UIN2360
UIN2361
UIN2362
UIN2363
UIN2364
UIN2365
UIN2366
UIN2367
UIN2368
UIN2369
UIN2370
UIN2371
UIN2372
UIN2373
UIN2374
UIN2375
UIN2376
UIN2377
UIN2378
UIN2379
UIN2380
UIN2381
UIN2382
UIN2383
UIN2384
UIN2385
UIN2386
UIN2387
UIN2388
UIN2389
UIN2390
UIN2391
UIN2392
UIN2393
UIN2394
UIN2395
UIN2396
UIN2397
UIN2398
UIN2399
UIN2400
UIN2401
UIN2402
UIN2403
UIN2404
UIN2405
UIN2406
UIN2407
UIN2408
UIN2409
UIN2410
UIN2411
UIN2412
UIN2413
UIN2414
UIN2415
UIN2416
UIN2417
UIN2418
UIN2419
UIN2420
UIN2421
UIN2422
UIN2423
UIN2424
UIN2425
UIN2426
UIN2427
UIN2428
UIN2429
UIN2430
UIN2431
UIN2432
UIN2433
UIN2434
UIN2435
UIN2436
UIN2437
UIN2438
UIN2439
UIN2440
UIN2441
UIN2442
UIN2443
UIN2444
UIN2445
UIN2446
UIN2447
UIN2448
UIN2449
UIN2450
UIN2451
UIN2452
UIN2453
UIN2454
UIN2455
UIN2456
UIN2457
UIN2458
UIN2459
UIN2460
UIN2461
UIN2462
UIN2463
UIN2464
UIN2465
UIN2466
UIN2467
UIN2468
UIN2469
UIN2470
UIN2471
UIN2472
UIN2473
UIN2474
UIN2475
UIN2476
UIN2477
UIN2478
UIN2479
UIN2480
UIN2481
UIN2482
UIN2483
UIN2484
UIN2485
UIN2486
UIN2487
UIN2488
UIN2489
UIN2490
UIN2491
UIN2492
UIN2493
UIN2494
UIN2495
UIN2496
UIN2497
UIN2498
UIN2499
UIN2500
UIN2501
UIN2502
UIN2503
UIN2504
UIN2505
UIN2506
UIN2507
UIN2508
UIN2509
UIN2510
UIN2511
UIN2512
UIN2513
UIN2514
UIN2515
UIN2516
UIN2517
UIN2518
UIN2519
UIN2520
UIN2521
UIN2522
UIN2523
UIN2524
UIN2525
UIN2526
UIN2527
UIN2528
UIN2529
UIN2530
UIN2531
UIN2532
UIN2533
UIN2534
UIN2535
UIN2536
UIN2537
UIN2538
UIN2539
UIN2540
UIN2541
UIN2542
UIN2543
UIN2544
UIN2545
UIN2546
UIN2547
UIN2548
UIN2549
UIN2550
UIN2551
UIN2552
UIN2553
UIN2554
UIN2555
UIN2556
UIN2557
UIN2558
UIN2559
UIN2560
UIN2561
UIN2562
UIN2563
UIN2564
UIN2565
UIN2566
UIN2567
UIN2568
UIN2569
UIN2570
UIN2571
UIN2572
UIN2573
UIN2574
UIN2575
UIN2576
UIN2577
UIN2578
UIN2579
UIN2580
UIN2581
UIN2582
UIN2583
UIN2584
UIN2585
UIN2586
UIN2587
UIN2588
UIN2589
UIN2590
UIN2591
UIN2592
UIN2593
UIN2594
UIN2595
UIN2596
UIN2597
UIN2598
UIN2599
UIN2600
UIN2601
UIN2602
UIN2603
UIN2604
UIN2605
UIN2606
UIN2607
UIN2608
UIN2609
UIN2610
UIN2611
UIN2612
UIN2613
UIN2614
UIN2615
UIN2616
UIN2617
UIN2618
UIN2619
UIN2620
UIN2621
UIN2622
UIN2623
UIN2624
UIN2625
UIN2626
UIN2627
UIN2628
UIN2629
UIN2630
UIN2631
UIN2632
UIN2633
UIN2634
UIN2635
UIN2636
UIN2637
UIN2638
UIN2639
UIN2640
UIN2641
UIN2642
UIN2643
UIN2644
UIN2645
UIN2646
UIN2647
UIN2648
UIN2649
UIN2650
UIN2651
UIN2652
UIN2653
UIN2654
UIN2655
UIN2656
UIN2657
UIN2658
UIN2659
UIN2660
UIN2661
UIN2662
UIN2663
UIN2664
UIN2665
UIN2666
UIN2667
UIN2668
UIN2669
UIN2670
UIN2671
UIN2672
UIN2673
UIN2674
UIN2675
UIN2676
UIN2677
UIN2678
UIN2679
UIN2680
UIN2681
UIN2682
UIN2683
UIN2684
UIN2685
UIN2686
UIN2687
UIN2688
UIN2689
UIN2690
UIN2691
UIN2692
UIN2693
UIN2694
UIN2695
UIN2696
UIN2697
UIN2698
UIN2699
UIN2700
UIN2701
UIN2702
UIN2703
UIN2704
UIN2705
UIN2706
UIN2707
UIN2708
UIN2709
UIN2710
UIN2711
UIN2712
UIN2713
UIN2714
UIN2715
UIN2716
UIN2717
UIN2718
UIN2719
UIN2720
UIN2721
UIN2722
UIN2723
UIN2724
UIN2725
UIN2726
UIN2727
UIN2728
UIN2729
UIN2730
UIN2731
UIN2732
UIN2733
UIN2734
UIN2735
UIN2736
UIN2737
UIN2738
UIN2739
UIN2740
UIN2741
UIN2742
UIN2743
UIN2744
UIN2745
UIN2746
UIN2747
UIN2748
UIN2749
UIN2750
UIN2751
UIN2752
UIN2753
UIN2754
UIN2755
UIN2756
UIN2757
UIN2758
UIN2759
UIN2760
UIN2761
UIN2762
UIN2763
UIN2764
UIN2765
UIN2766
UIN2767
UIN2768
UIN2769
UIN2770
UIN2771
UIN2772
UIN2773
UIN2774
UIN2775
UIN2776
UIN2777
UIN2778
UIN2779
UIN2780
UIN2781
UIN2782
UIN2783
UIN2784
UIN2785
UIN2786
UIN2787
UIN2788
UIN2789
UIN2790
UIN2791
UIN2792
UIN2793
UIN2794
UIN2795
UIN2796
UIN2797
UIN2798
UIN2799
UIN2800
UIN2801
UIN2802
UIN2803
UIN2804
U



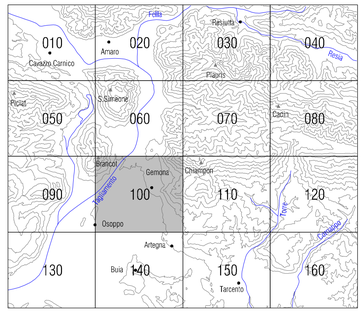
REGIONE AUTONOMA FRIULI VENEZIA GIULIA
servizio geologico

ISPRA - Istituto Superiore per la Protezione e la Ricerca Ambientale
SERVIZIO GEOLOGICO D'ITALIA

CARTA GEOLOGICA D'ITALIA

FOGLIO 049 GEMONA DEL FRIULI

(Legge 13 luglio 1999, n. 226)



Sezione 049100 GEMONA DEL FRIULI

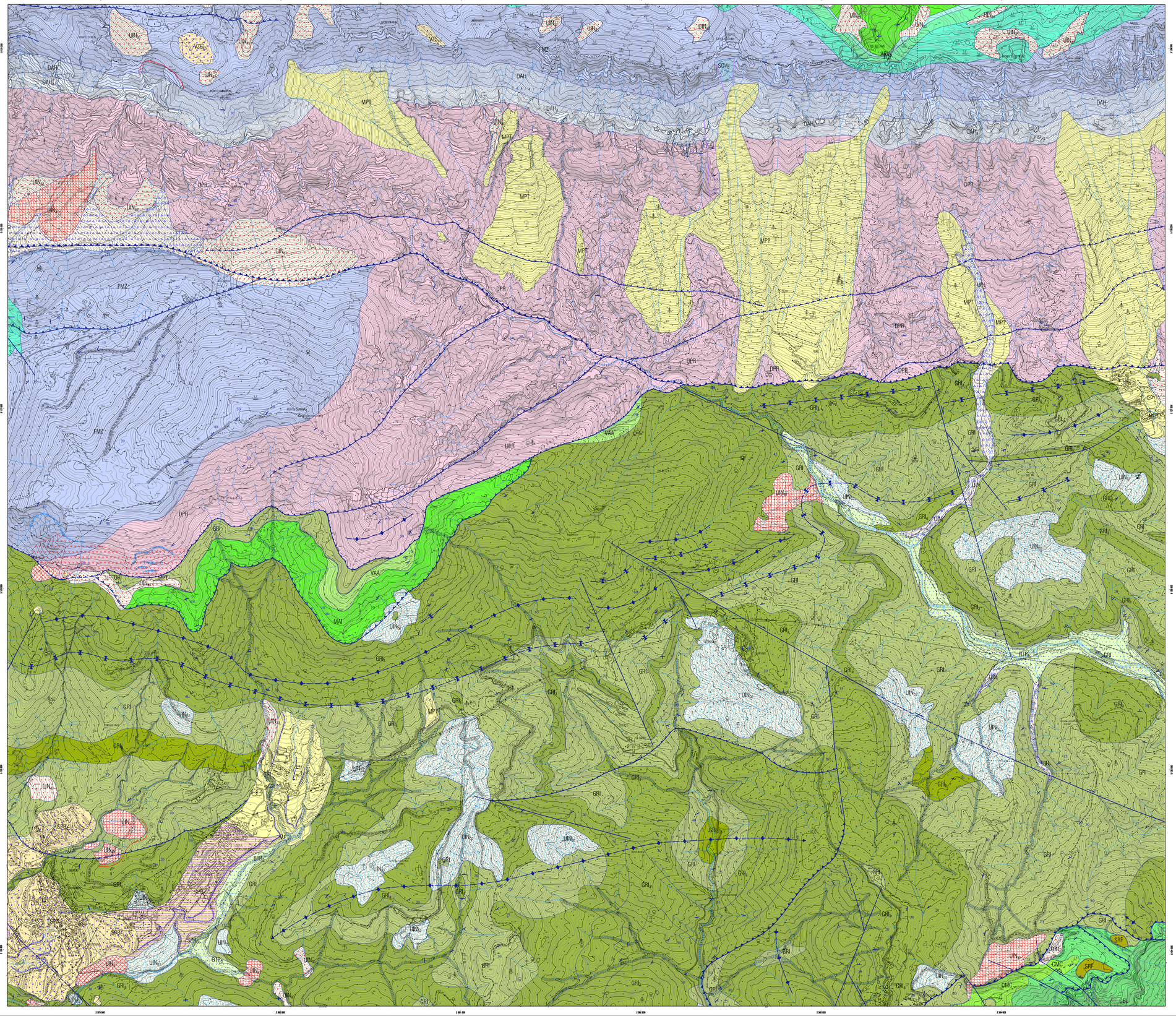
Responsabile di progetto: G. Lizzi
Regione Autonoma Friuli Venezia Giulia
Direzione Centrale Ambiente, Energia e Politiche per la Montagna

Coordinatore scientifico: A. Zanferrari
Università degli Studi di Udine
Dipartimento di Chimica, Fisica e Ambiente - Sez. Georisorse e Territorio

0 m 500 1000

Scala 1:10.000

Base cartografica elaborata da CTRN Regione Autonoma Friuli - Venezia Giulia
Le coordinate piane sono riferite al sistema di riferimento nazionale



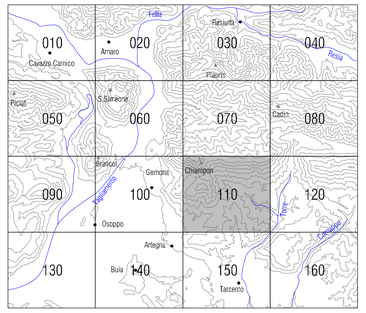
REGIONE AUTONOMA FRIULI VENEZIA GIULIA
servizio geologico

ISPRA - Istituto Superiore per la Protezione e la Ricerca Ambientale
SERVIZIO GEOLOGICO D'ITALIA

CARTA GEOLOGICA D'ITALIA

FOGLIO 049 GEMONA DEL FRIULI

(Legge 13 luglio 1999, n. 226)



Sezione 049110 MONTENARS

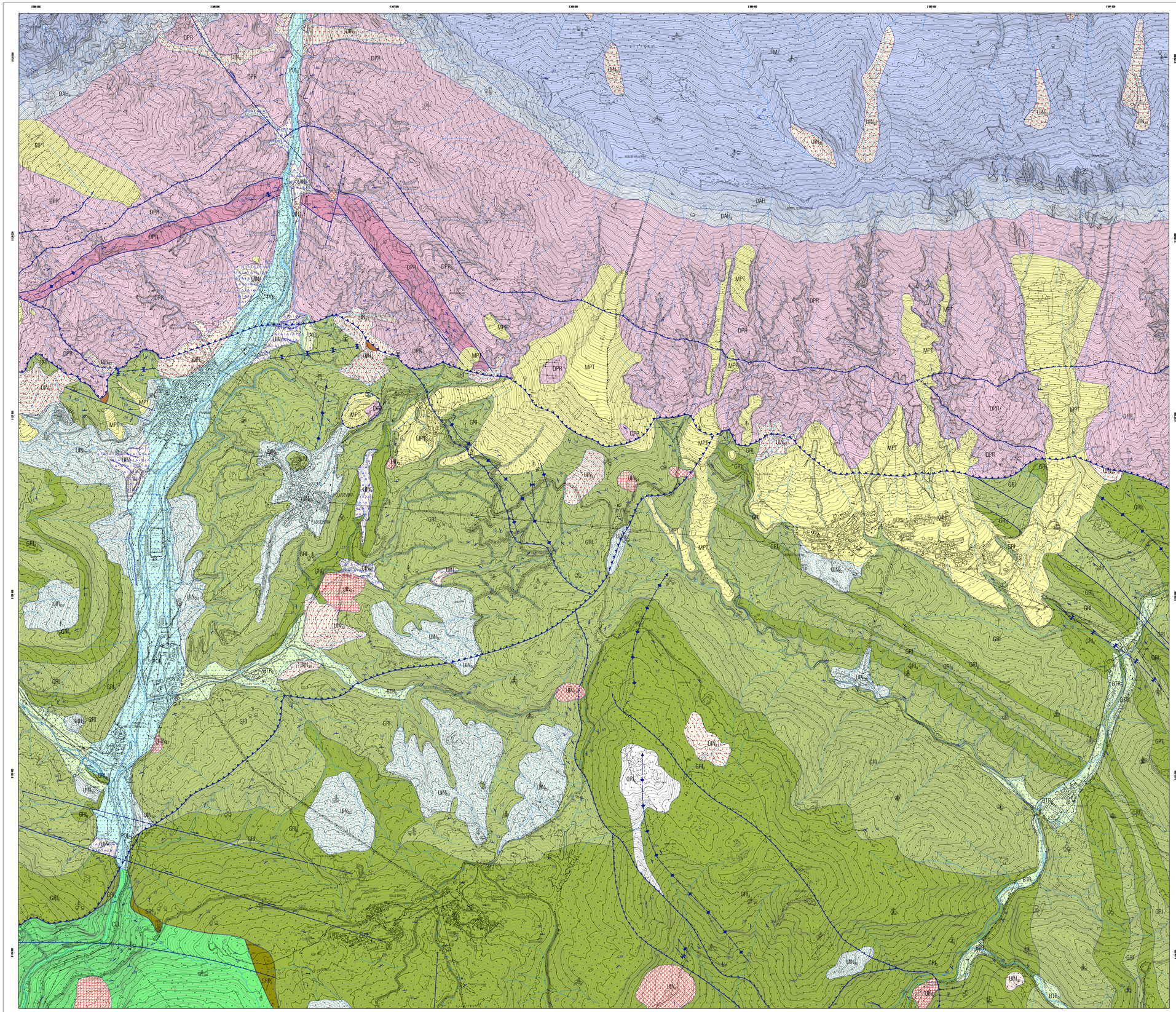
Responsabile di progetto: G. Lizzi
Regione Autonoma Friuli Venezia Giulia
Direzione Centrale Ambiente, Energia e Politiche per la Montagna

Coordinatore scientifico: A. Zanferrari
Università degli Studi di Udine
Dipartimento di Chimica, Fisica e Ambiente - Sez. Georisorse e Territorio

0 m 500 1000

Scala 1:10.000

Base cartografica elaborata da CTRN Regione Autonoma Friuli - Venezia Giulia
Le coordinate piane sono riferite al sistema di riferimento nazionale



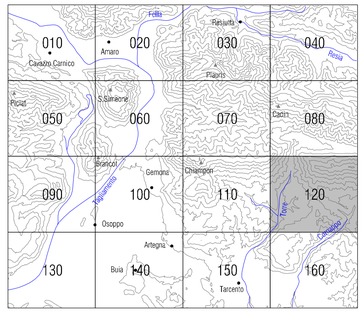
REGIONE AUTONOMA FRIULI VENEZIA GIULIA
servizio geologico

ISPRA - Istituto Superiore per la Protezione e la Ricerca Ambientale
SERVIZIO GEOLOGICO D'ITALIA

CARTA GEOLOGICA D'ITALIA

FOGLIO 049 GEMONA DEL FRIULI

(Legge 13 luglio 1999, n. 226)



Sezione 049120 LUSEVERA

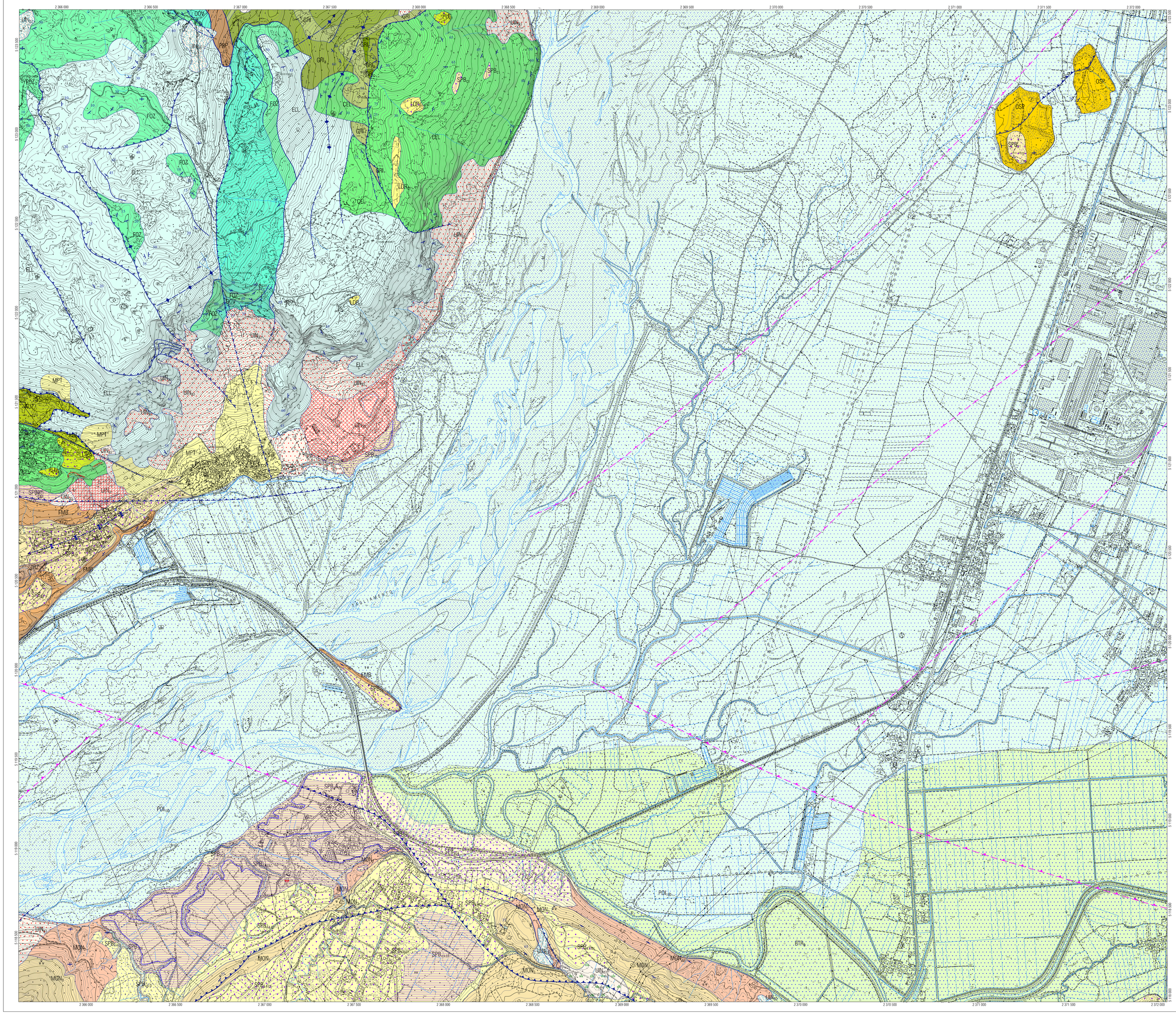
Responsabile di progetto: G. Lizzi
Regione Autonoma Friuli Venezia Giulia
Direzione Centrale Ambiente, Energia e Politiche per la Montagna

Coordinatore scientifico: A. Zanferrari
Università degli Studi di Udine
Dipartimento di Chimica, Fisica e Ambiente - Sez. Georisorse e Territorio

0 m 500 1000

Scala 1:10.000

Base cartografica elaborata da CTRN Regione Autonoma Friuli - Venezia Giulia
Le coordinate piane sono riferite al sistema di riferimento nazionale



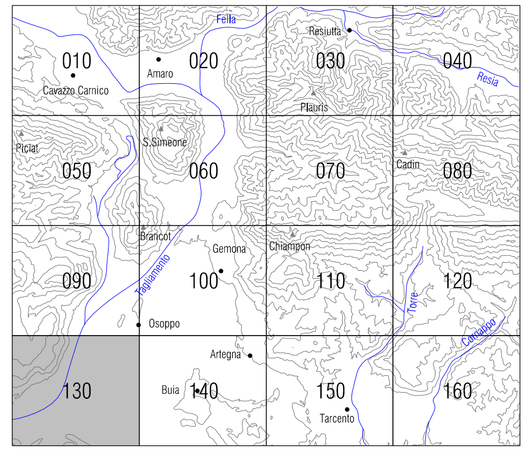
REGIONE AUTONOMA FRIULI VENEZIA GIULIA
servizio geologico

ISPRA - Istituto Superiore per la Protezione e la Ricerca Ambientale
SERVIZIO GEOLOGICO D'ITALIA

CARTA GEOLOGICA D'ITALIA

FOGLIO 049 GEMONA DEL FRIULI

(Legge 13 luglio 1999, n. 226)



Sezione 049130 CORNINO

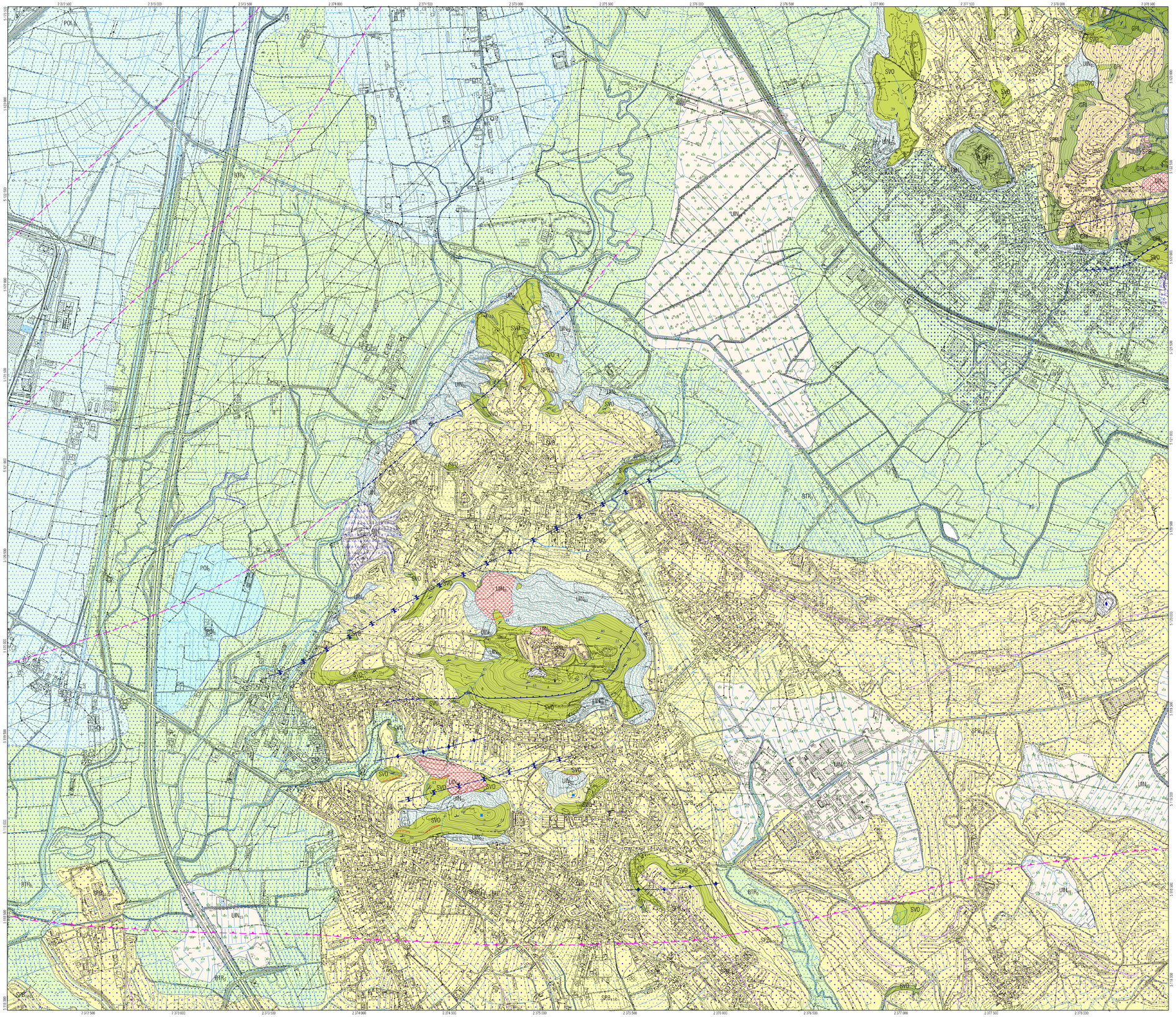
Responsabile di progetto: G. Lizzi
Regione Autonoma Friuli Venezia Giulia
Direzione Centrale Ambiente, Energia e Politiche per la Montagna

Coordinatore scientifico: A. Zanferrari
Università degli Studi di Udine
Dipartimento di Chimica, Fisica e Ambiente - Sez. Georisorse e Territorio

0 m 500 1000

Scala 1:10.000

Base cartografica elaborata da CTRN Regione Autonoma Friuli - Venezia Giulia
Le coordinate piane sono riferite al sistema di riferimento nazionale



REGIONE AUTONOMA FRIULI VENEZIA GIULIA

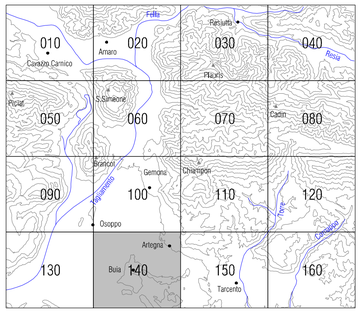
servizio geologico

ISPRA - Istituto Superiore per la Protezione e la Ricerca Ambientale
SERVIZIO GEOLOGICO D'ITALIA

CARTA GEOLOGICA D'ITALIA

FOGLIO 049 GEMONA DEL FRIULI

(Legge 13 luglio 1999, n. 226)



Sezione 049140 BUIA

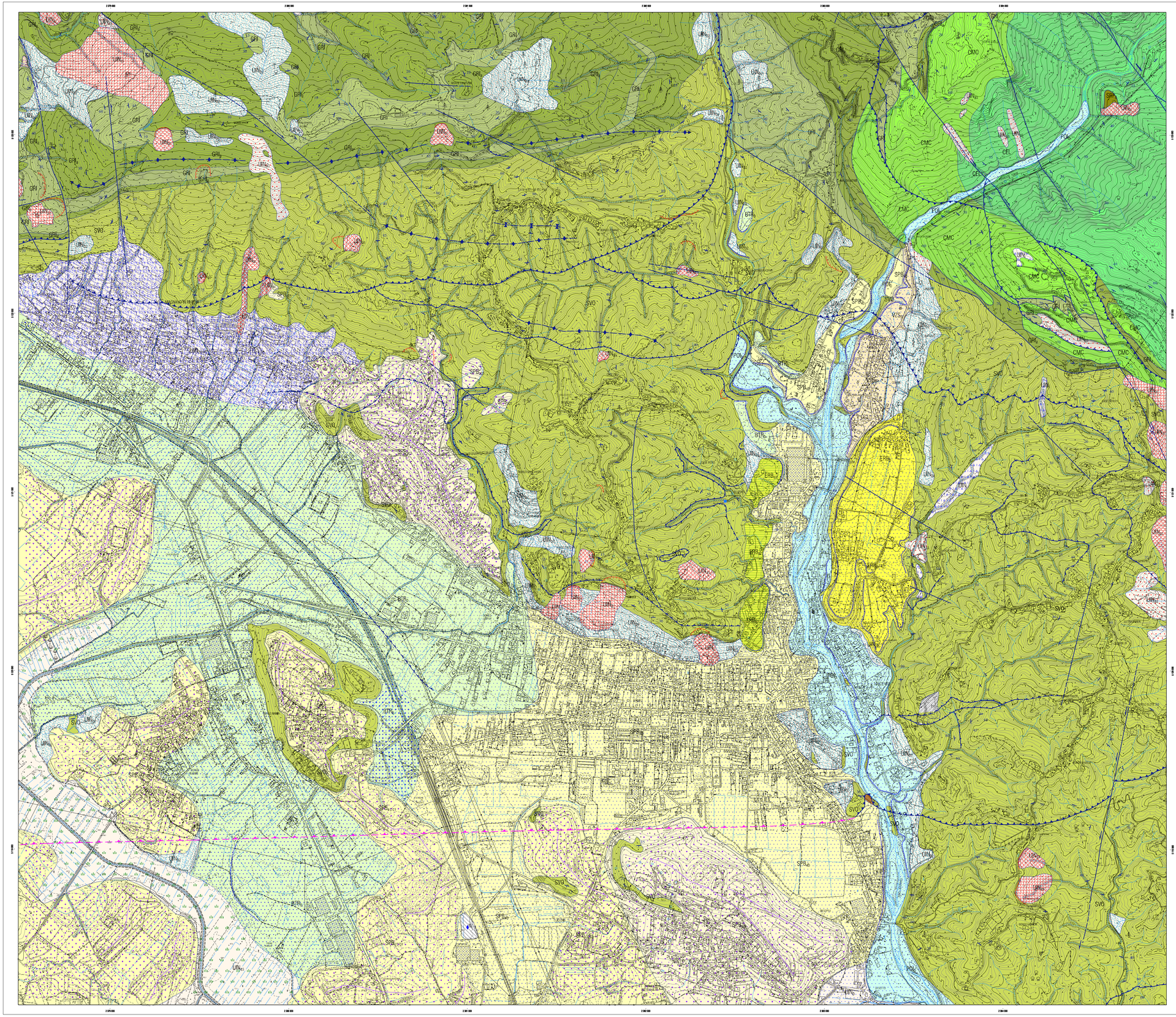
Responsabile di progetto: G. Lizzi
Regione Autonoma Friuli Venezia Giulia
Direzione Centrale Ambiente, Energia e Politiche per la Montagna

Coordinatore scientifico: A. Zanferrari
Università degli Studi di Udine
Dipartimento di Chimica, Fisica e Ambiente - Sez. Georisorse e Territorio

0 m 500 1000

Scala 1:10.000

Base cartografica elaborata da CTRN Regione Autonoma Friuli - Venezia Giulia
Le coordinate piane sono riferite al sistema di riferimento nazionale



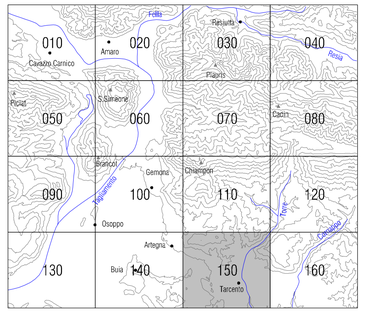
REGIONE AUTONOMA FRIULI VENEZIA GIULIA
servizio geologico

ISPRA - Istituto Superiore per la Protezione e la Ricerca Ambientale
SERVIZIO GEOLOGICO D'ITALIA

CARTA GEOLOGICA D'ITALIA

FOGLIO 049 GEMONA DEL FRIULI

(Legge 13 luglio 1999, n. 226)



Sezione 049150 TARCENTO

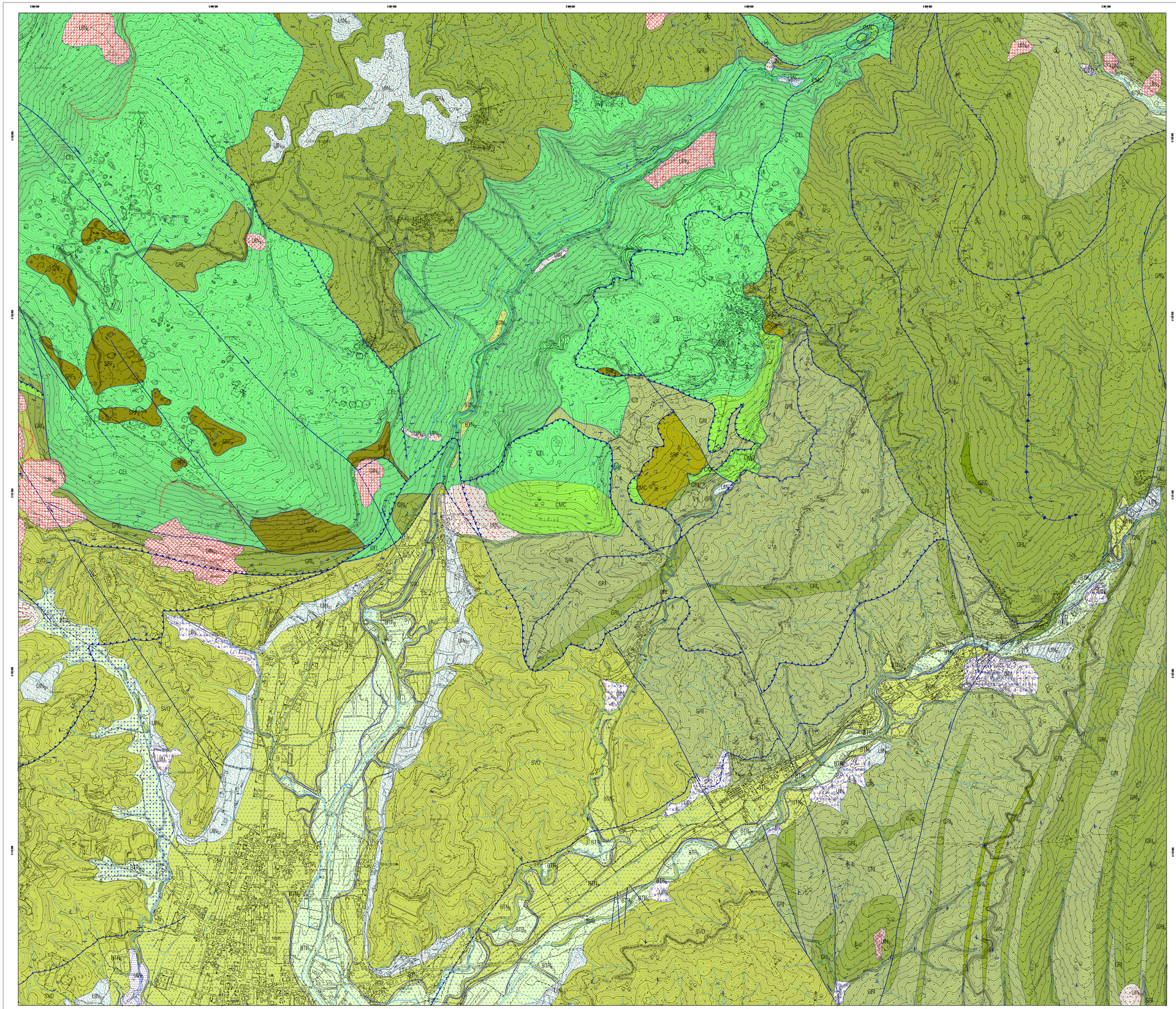
Responsabile di progetto: G. Lizzi
Regione Autonoma Friuli Venezia Giulia
Direzione Centrale Ambiente, Energia e Politiche per la Montagna

Coordinatore scientifico: A. Zanferrari
Università degli Studi di Udine
Dipartimento di Chimica, Fisica e Ambiente - Sez. Georisorse e Territorio

0 m 500 1000

Scala 1:10.000

Base cartografica elaborata da CTRN Regione Autonoma Friuli - Venezia Giulia
Le coordinate piane sono riferite al sistema di riferimento nazionale



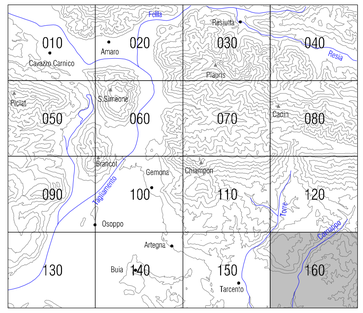
REGIONE AUTONOMA FRIULI VENEZIA GIULIA
servizio geologico

ISPRA - Istituto Superiore per la Protezione e la Ricerca Ambientale
SERVIZIO GEOLOGICO D'ITALIA

CARTA GEOLOGICA D'ITALIA

FOGLIO 049 GEMONA DEL FRIULI

(Legge 13 luglio 1999, n. 226)



Sezione 049160 NIMIS

Responsabile di progetto: G. Lizzi
Regione Autonoma Friuli Venezia Giulia
Direzione Centrale Ambiente, Energia e Politiche per la Montagna

Coordinatore scientifico: A. Zanferrari
Università degli Studi di Udine
Dipartimento di Chimica, Fisica e Ambiente - Sez. Georisorse e Territorio

0 m 500 1000

Scala 1:10.000

Base cartografica elaborata da CTRN Regione Autonoma Friuli - Venezia Giulia
Le coordinate piane sono riferite al sistema di riferimento nazionale